





Análisis de redes de conectividad cerebral en pacientes epilépticos a través de su representación en espacios de baja dimensión

Steven Fernando Rico Aparicio <sup>1</sup> *Maestría en Física* 

PhD. Mario Chávez<sup>2</sup>
Director

PhD. Luis A. Nuñez<sup>1</sup>
Codirector

<sup>1</sup> Universidad Industrial de Santander, Colombia
 <sup>2</sup> Brain Institute of Paris – Pitié Salpetriere Hospital, Francia
 <sup>2</sup> CNRS





Objetivo



Redes Complejas en Neurociencia



Descripción de pacientes



Construcción, tratamiento y anclaje de redes de conectividad cerebral



Clasificación de estados Preictales



Predicción de estados Preictales



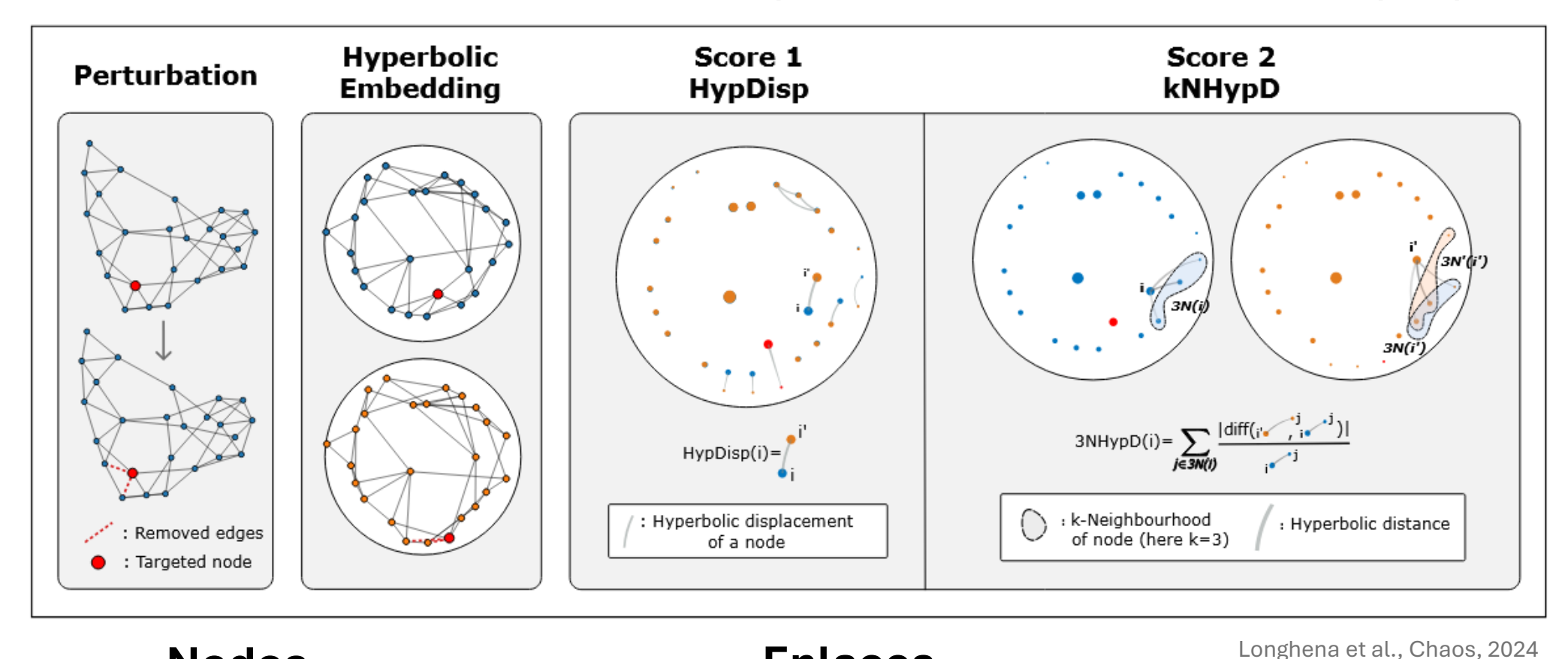
Conclusiones del trabajo



# Redes + Representaciones geométricas latentes



Cuantificación de las perturbaciones en redes de epilepsia





Regiones cerebrales Relación entre regiones cerebrales











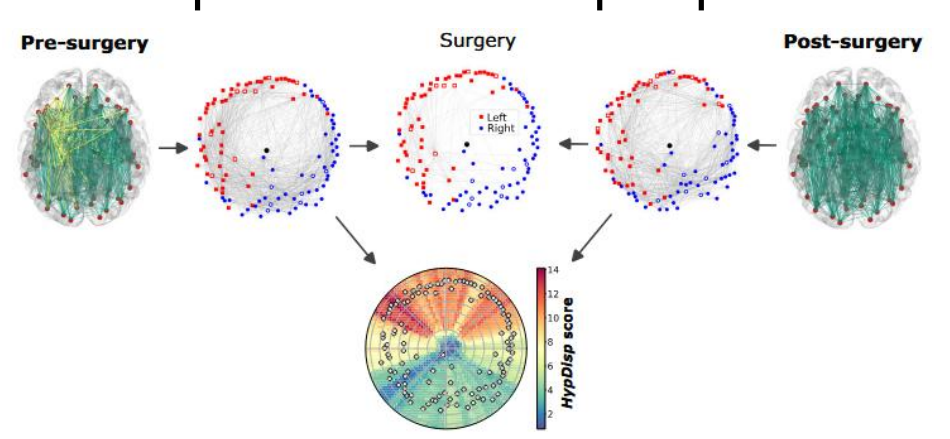






#### Geometría No Euclídea

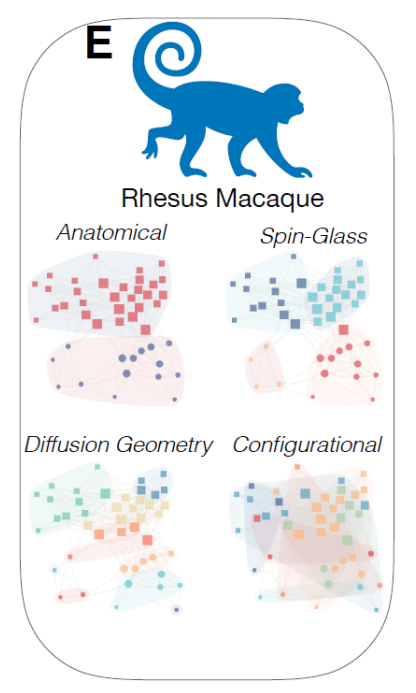
Impacto de resección de cerebro en pacientes de epilepsia



### Geometría Euclídea

# Geometría de difusión en el mono Macaco

Modificado de Boguna et al., Nature Reviews Physics, 2021



Guillemaud et al., npj Systems Biology and Applications, 2024

	Hiperbólico	Euclídeo
Captura Jerárquica	Ideal para redes con estructura multiescalar	Representación limitada
Geometría	Formulación específica en el espacio	Métrica L2, Interpretación directa en $\mathbb{R}^q$
Estabilidad numérica	Soluciones sensibles a condiciones iniciales	Robusta
Costo Computacional	Alto	Bajo















# Objetivo

Evaluar si las <u>representaciones euclidianas</u> de redes funcionales cerebrales, construidas a partir de <u>registros intracraneales</u>, permiten identificar <u>cambios</u> en el estado funcional del cerebro.

Caso de estudio: La Epilepsia

Trastorno cerebral caracterizado principalmente por interrupciones recurrentes e impredecibles de la actividad cerebral normal

Low-dimensional representation of brain networks for seizure risk forecasting

Steven Rico-Aparicio
Physics Department, Industrial University of Santander, Colombia

Martin Guillemaud and Alice Longhena Paris Brain Institute (ICM), Inria Paris, INSERM, CNRS, Sorbonne University, Pitié-Salpêtrière Hospital, Paris, France

Vincent Navarro and Louis Cousyn

Department of Neurology, Epilepsy Unit, Pitié-Salpêtrière University Hospital, AP-HP, Paris, France Center of Reference for Rare Epilepsies, Pitié-Salpêtrière University Hospital, AP-HP, Paris, France and Paris Brain Institute, Sorbonne Université – CNRS – Inserm, Paris, France

Mario Chavez\*

CNRS, Pitié-Salpêtrière Hospital. Paris, France

Identifying preictal states—periods during which seizures are more likely to occur—remains a central challenge in clinical computational neuroscience. In this study, we introduce a novel framework that embeds functional brain connectivity networks, derived from intracranial EEG (iEEG) recordings, into a low-dimensional Euclidean space. This compact representation captures are projected features of brain dynamics and facilitates the detection of subtle connectivity.

popological features of brain dynamics and facilitates the detection of subtle connectivity eceding seizures. Using standard machine learning techniques, we define a dimensionless  $\mathcal{B}$ , that discriminates between interictal (seizure-free) and preictal (within 24 hours network states. Our method focuses on connectivity patterns among a subset of e iEEG electrodes, enabling robust classification of brain states across time. We validate ach using a leave-one-out cross-validation scheme and a pseudo-prospective forecasting ssessing performance with metrics such as F1-score and balanced accuracy. Results show imensional Euclidean embeddings of iEEG connectivity yield interpretable and predictive f preictal activity, offering promising implications for real-time seizure forecasting and zed therapeutic interventions.









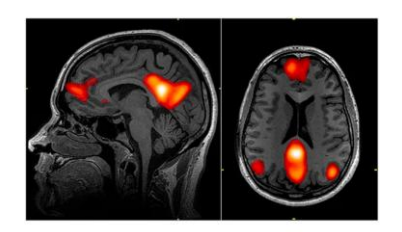




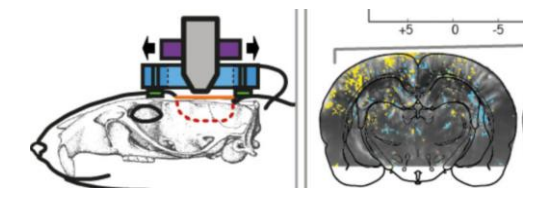


### Registro de actividad cerebral

Imagen de resonancia magnética (fMRI)



Ultrasonido focalizado (fUS)



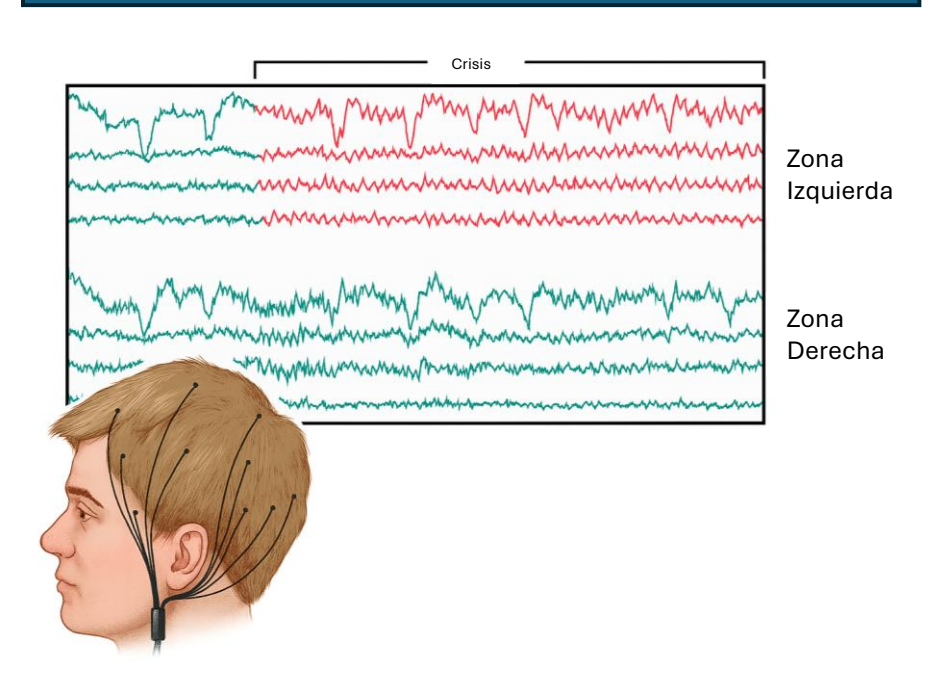
- ✓ Electroencefalografía
  - ✓ Alta resolución temporal (1ms)
  - ✓ Registro directo de señales eléctricas
  - ✓ Practicidad

Actualmente • Identificación y Prevención de crisis epilépticas

• Impacto de cirugía resectiva

# Electroencefalografía intracraneal

Técnica quirúrgica invasiva que registra los campos eléctricos de la actividad sináptica













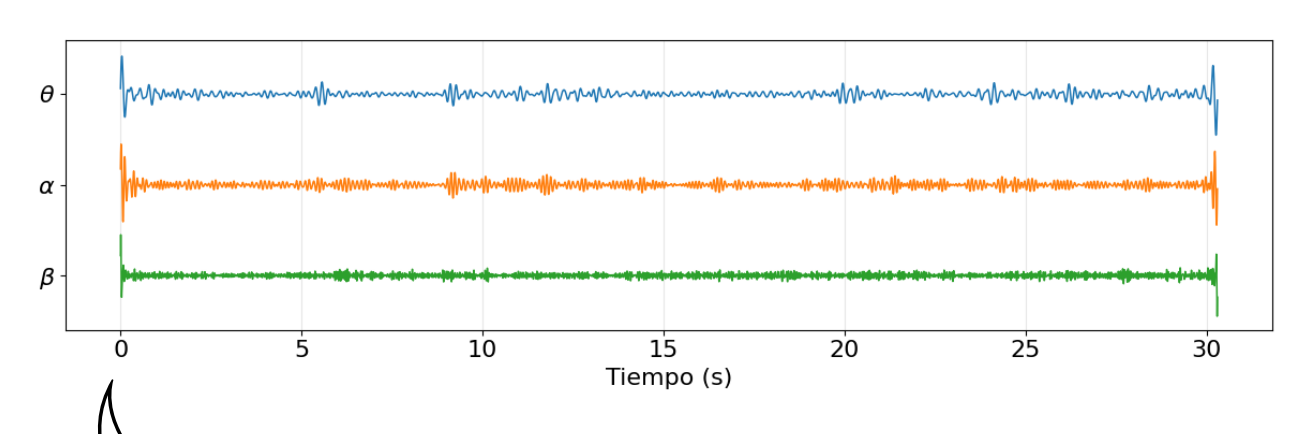




# Tratamiento de las series de tiempo (**Phase-Locking Value**)

Le Van QM et al., Clin Neurophysiol, 2005

- ✓ Sensible a cambios sutiles en la dinámica de sincronización
- √ Requiere ventanas temporales cortas (5s)



$$\delta$$
 (0.5 – 4  $Hz$ )

$$\theta (4-7 Hz)$$

$$\alpha$$
 (8 – 13 *Hz*)

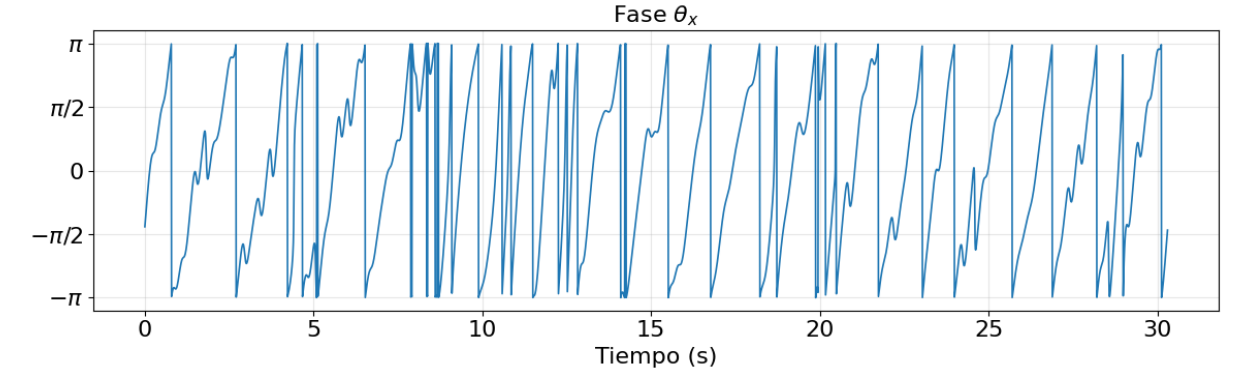
$$\beta$$
 (13 – 30 *Hz*)

$$\gamma$$
 (> 30 *Hz*)



$$\zeta_x(t) = x(t) + i\tilde{x}(t) = A_x(t)e^{i\theta_x(t)}$$

Chávez, M. et al. IEEE Transactions on Biomedical Engineering, 2003

















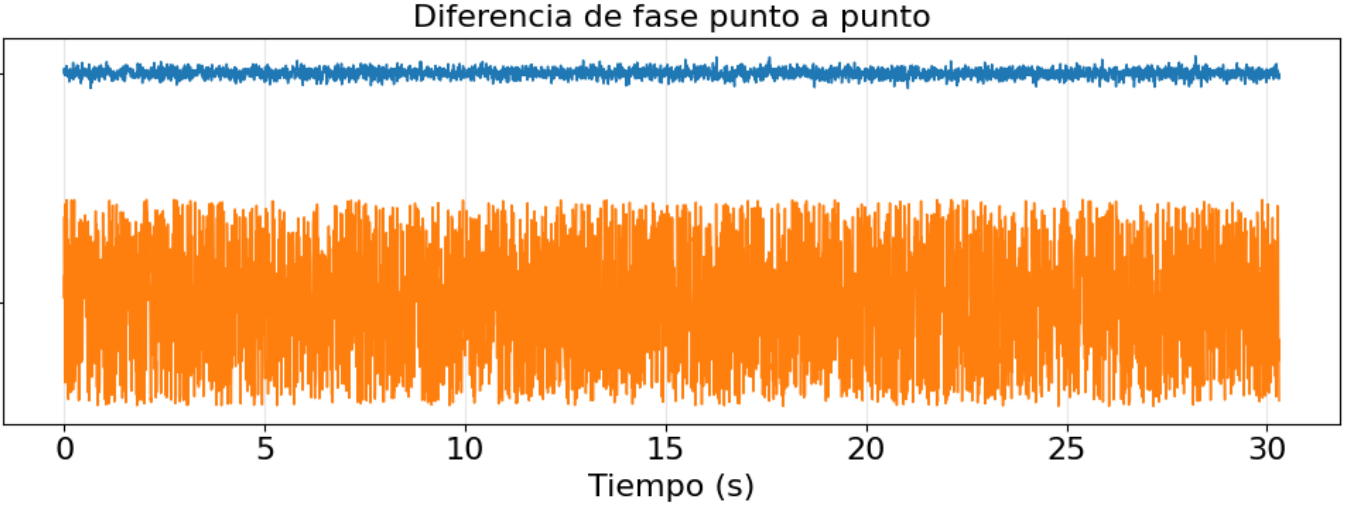
# Tratamiento de las series de tiempo (**Phase-Locking Value**)

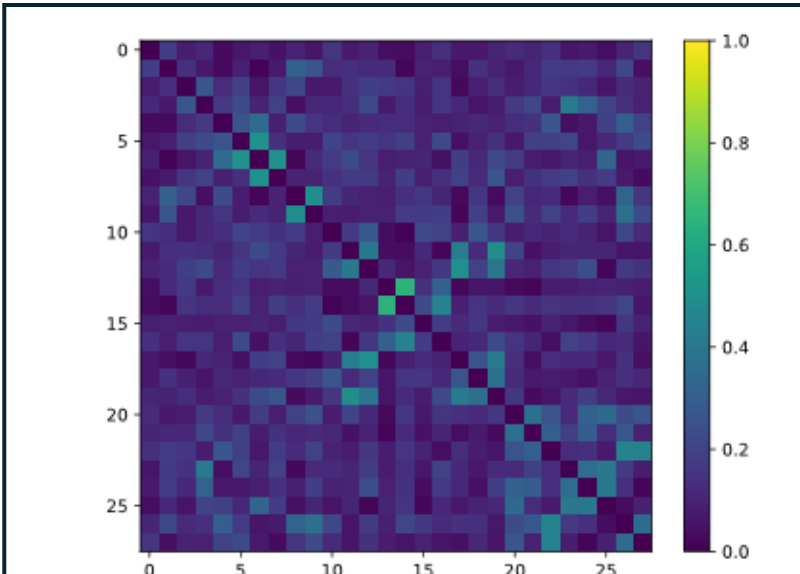
Para dos señales x(t), y(t) dentro de una misma banda de frecuencia

Sincronizado $\gamma_{x,y}pprox 1$ 

Desincronizado - $\gamma_{x,y}pprox 0$ 

$$\gamma_{x,y} = \left\langle e^{i\theta_{x,y}(t)} \right\rangle_{\in \mathbb{R}}$$





Conectividad Mapeo de las interacciones

Matriz de

cerebrales

Relación de señal entre electrodos



# Descripción de pacientes ASSISTANCE PUBLIQUE DE PARIS 2019-2021















Pac	eiente	0	1	2	3	4	5	6	7	8	9	
E	dad	47	30	18	25	27	27	39	31	25	38	30.7
Foco e	piléptico	Temporal posterior izquierda	Multifocal	Giro frontal superior derecha	Medial temporal izquierda	Precentral izquierda	Temporal posterior izquierda	Temporal polar izquierda	Medial temporal izquierda	Medial temporal derecha y temporo- polar	Medial temporal derecha y temporo- polar	
	soz	4	5	4	7	3	4	2	4	10	8	
Número de contactos	EIZ	30	58	15	13	22	7	13	23	24	6	Nodos
	Otras áreas	14	5	22	12	9	10	25	5	7	17	
Número de RS (días)	Preictales	2	10	3	2	2	2	11	1	3	2	<b>←</b>
	Interictales	6	1	8	10	2	4	3	16	9	10	<b>←</b>

**Enlaces** 



#### Desbalance entre clases













# Porcentaje de muestras preictales

$$\text{Preictal} = \frac{N_{\text{preictal}}}{N_{\text{total}}} \times 100$$

#### Índice de desbalance

$$ext{IR} = rac{ ext{max}(N_{ ext{preictal}}, \ N_{ ext{interictal}})}{ ext{min}(N_{ ext{preictal}}, \ N_{ ext{interictal}})}$$

Paciente	Preictal	Interictal	Total	% Preictal	IR local
P0	2	6	8	25.0%	3.00
P1	10	1	11	90.9%	0.10
P2	3	8	11	27.3%	2.67
P3	2	10	12	16.7 %	5.00
P4	2	2	4	50.0%	1.00
P5	2	4	6	33.3 %	2.00
P6	11	3	14	78.6%	0.27
P7	1	16	17	5.9%	16.00
P8	3	9	12	25.0%	3.00
P9	2	10	12	16.7 %	5.00
Total	38	69	107	35.5%	1.82





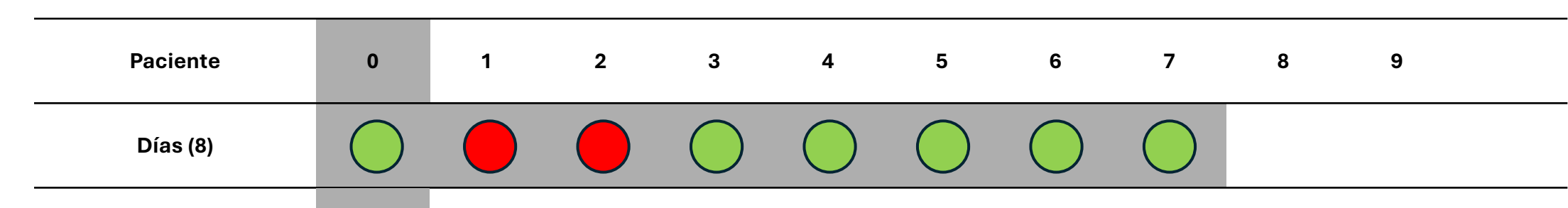






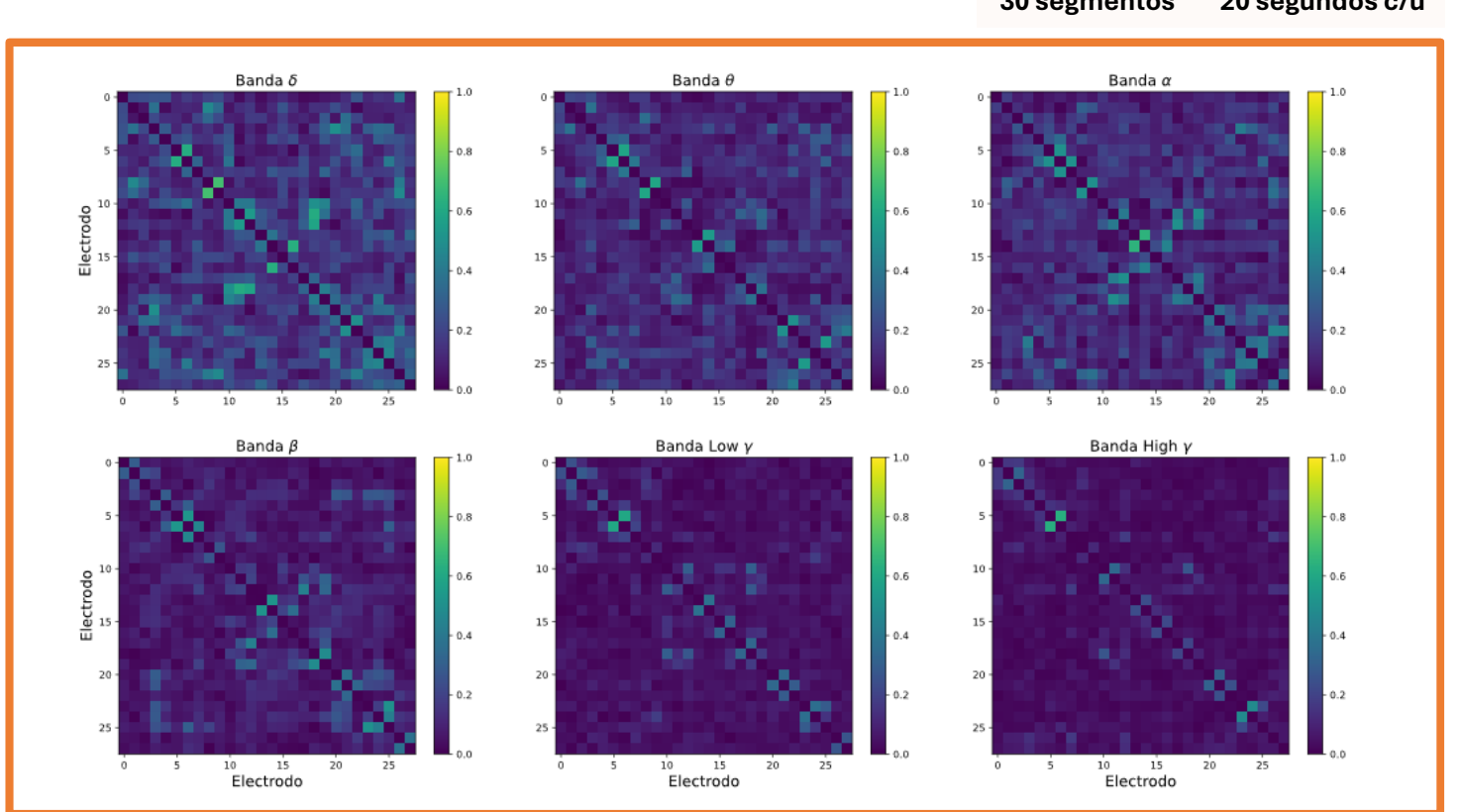
























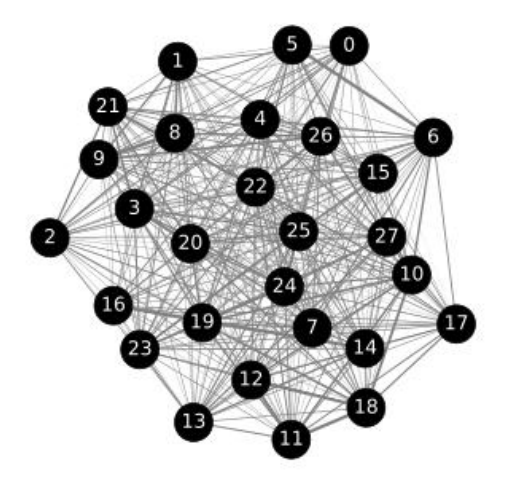


## Construcción de redes de conectividad

#### **Grafo Inicial**

Filtrado de Grafo

#### Paciente con 28 electrodos



$$G^* = (\Omega, W^*)$$

$$W^* = \{w_{ij}^*\}_{i,j \in \Omega}$$

 $\Omega$ : Conjunto de electrodos i

#### Fijación de Threshold

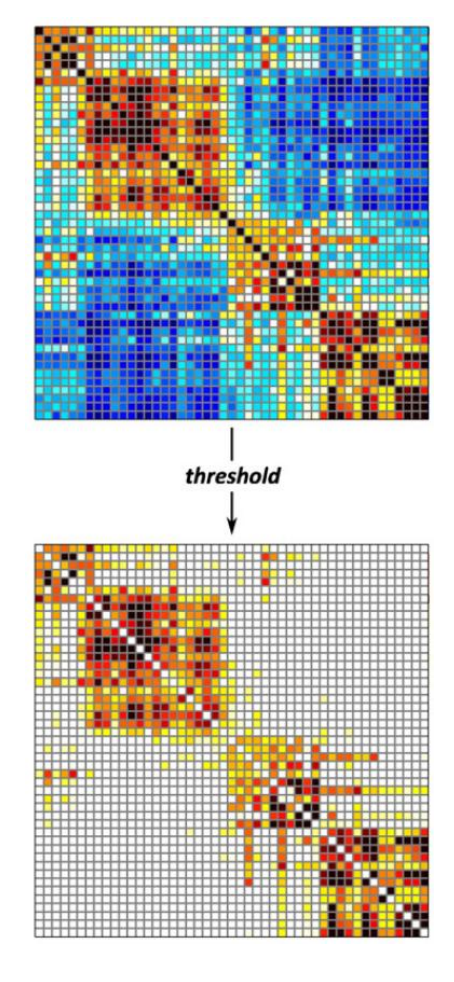
- ✓ Sencillo
- X Puede ser arbitrario
- X No garantiza conectividad global

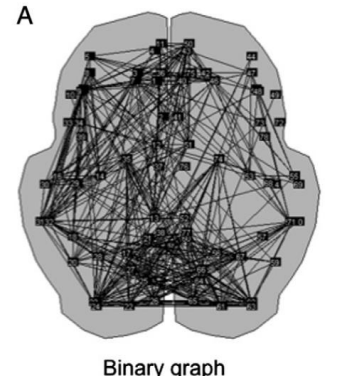
Rubinov, M., et al., Neuroimage, 2010

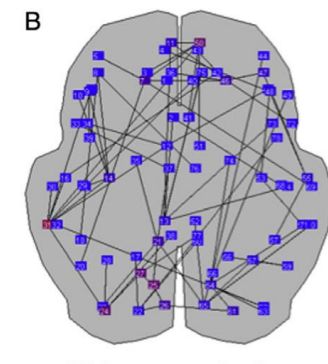
#### Minimum Spanning Tree

- ✓ Robusto a perturbaciones en la conectividad
- ✓ Amplio uso y aceptación en neurociencia

Stam, C. J., et al., International Journal of Psychophysiology, 2014





















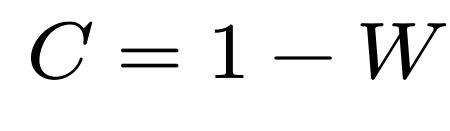
## Tratamiento de redes de conectividad

#### **Grafo Inicial**

Filtrado de Grafo

#### Paciente con 28 electrodos





$$T_{ ext{MST}} = rg\min_{T \subseteq E} \sum_{(i,j) \in T} c_{ij}$$

# Grado Medio $\langle k \rangle = 3$

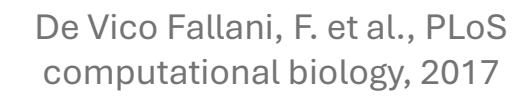
$$\langle k \rangle = \sum_{k} k P(k)$$

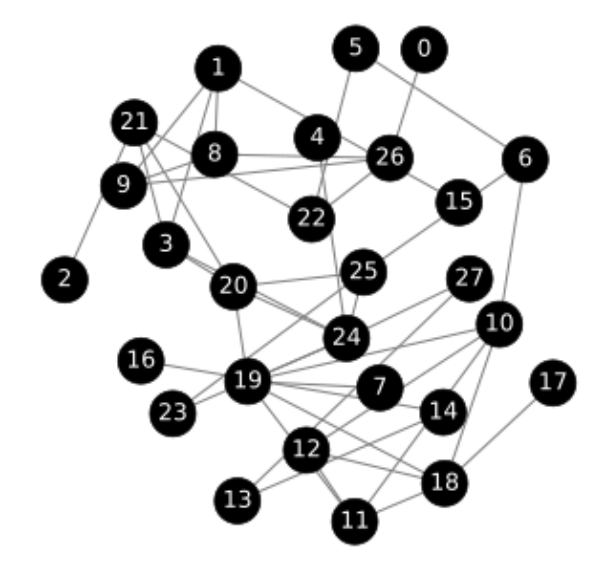
 $W^* = \{w_{ij}^*\}_{i,j \in \Omega}$ 

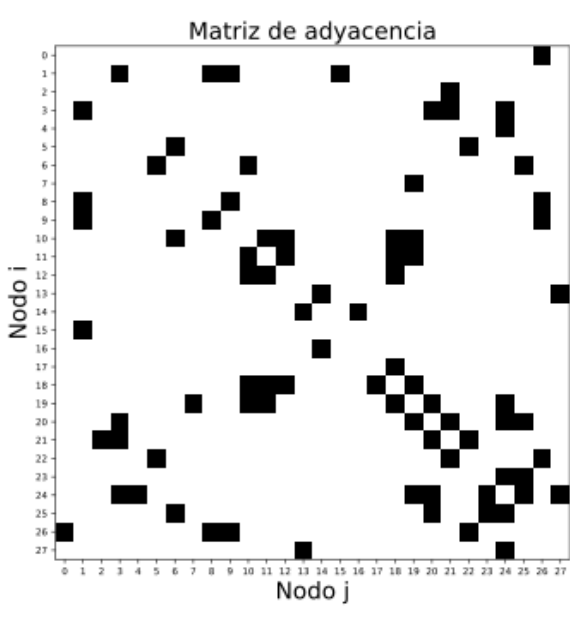
Número de enlaces incidentes sobre un nodo

 $\Omega$ : Conjunto de electrodos i

 $G^* = (\Omega, W^*)$ 













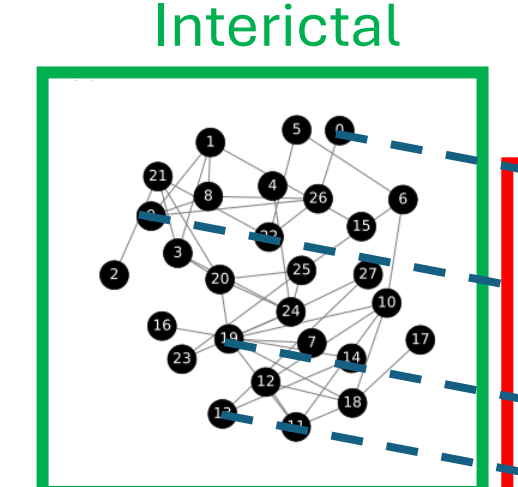


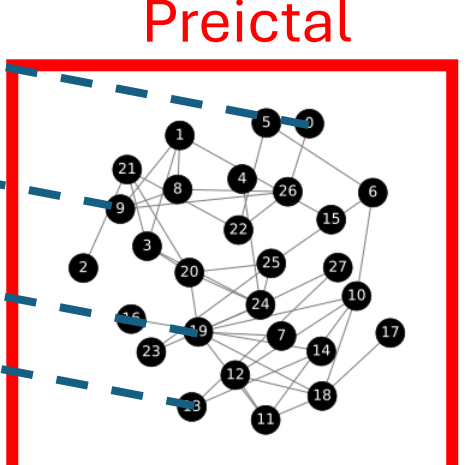




#### Comparación de Dinámica entre Redes

- X Alta dimensionalidad
- X Ambigüedad en interpretación clínica de las métricas
- X Comparar solo métricas agregadas ignora la estructura de la red





#### Embedding en un espacio Euclídeo

- $\checkmark$  Reducción de dimensionalidad  $\Phi: \mathbb{R}^{n \times n} \longrightarrow \mathbb{R}^q$
- ✓ Captura la conectividad de largo alcance y la estructura global de la red
- ✓ Comparación directa entre redes a través de métricas interpretables
- Difussion Maps

Discriminación entre sujetos sanos y con epilepsia

Chavez, M. et al., Physical Review Letters, 2010















# **Difussion Maps**

Método de reducción de dimensionalidad no lineal basado en la proyección espectral de un **proceso de difusión** 

Matriz de probabilidad de transición  ${m P}$ 

-- Cadena de Markov--





$$|\lambda_0| \ge |\lambda_1| \ge \dots \ge |\lambda_{n-1}|$$

$$\varphi_k^T P = \lambda_k \varphi_k^T \quad \text{y} \quad P \psi_k = \lambda_k \psi_k$$

#### Distancia de difusión en Red

Dos puntos tendrán una distancia pequeña si están conectados por muchos caminos dentro de la red

#### Métrica $L^2$ en $\mathbb{R}^q$

$$d_{ij}^2 \simeq \sum_{k=1}^q \lambda_k^2 (\psi_k(i) - \psi_k(j))^2$$

Dos puntos se proyectan cerca si poseen una fuerte conectividad funcional, lejos de otra manera











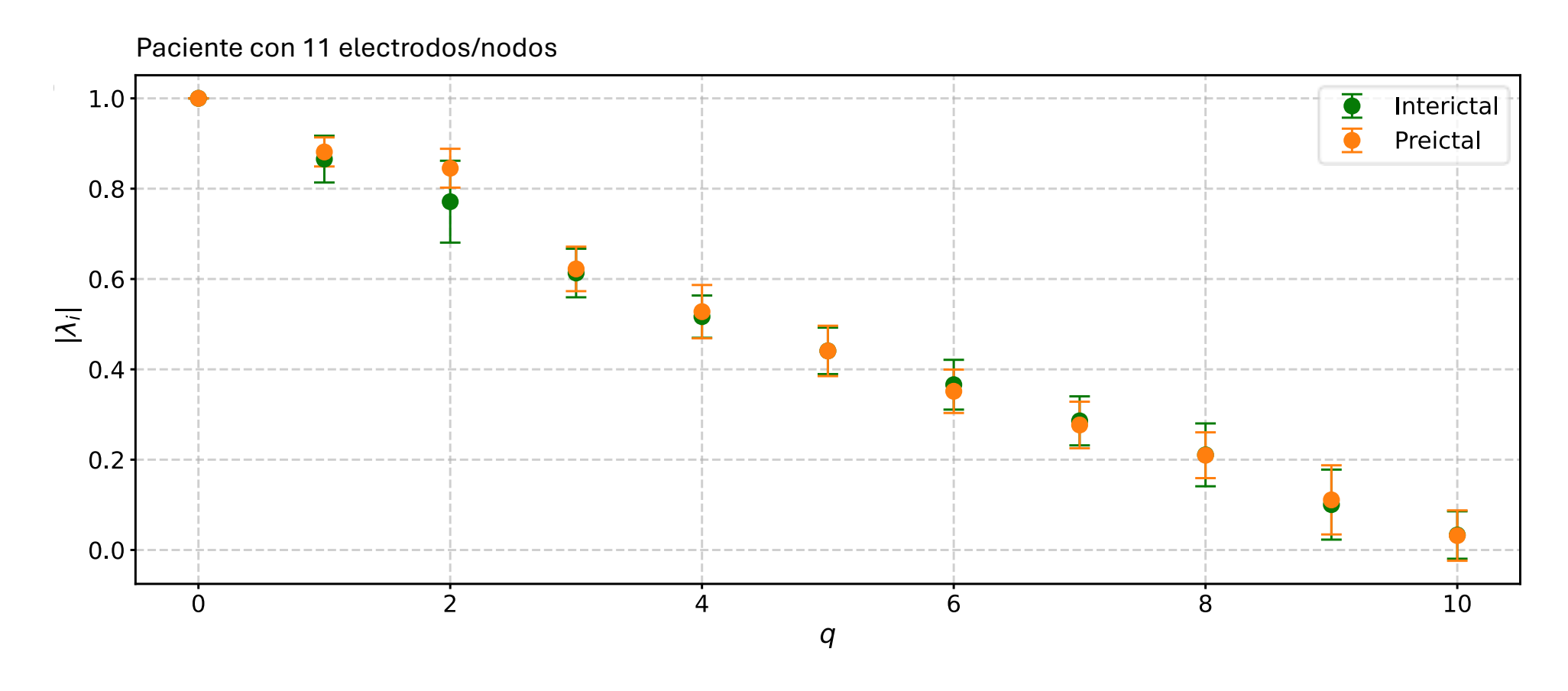




#### Descomposición espectral

#### 1. Modos de difusión dominantes

#### 2. Anclaje en $\mathbb{R}^q$



Fracción acumulada de información espectral en  $\mathbb{R}^2$ 

$$rac{1}{60} \sum_{p=1}^{10} \sum_{b=1}^{6} \left( rac{\sum_{k=1}^{2} |\lambda_k^{(p,b)}|}{\sum_{k=1}^{n-1} |\lambda_k^{(p,b)}|} 
ight) pprox 0.5$$













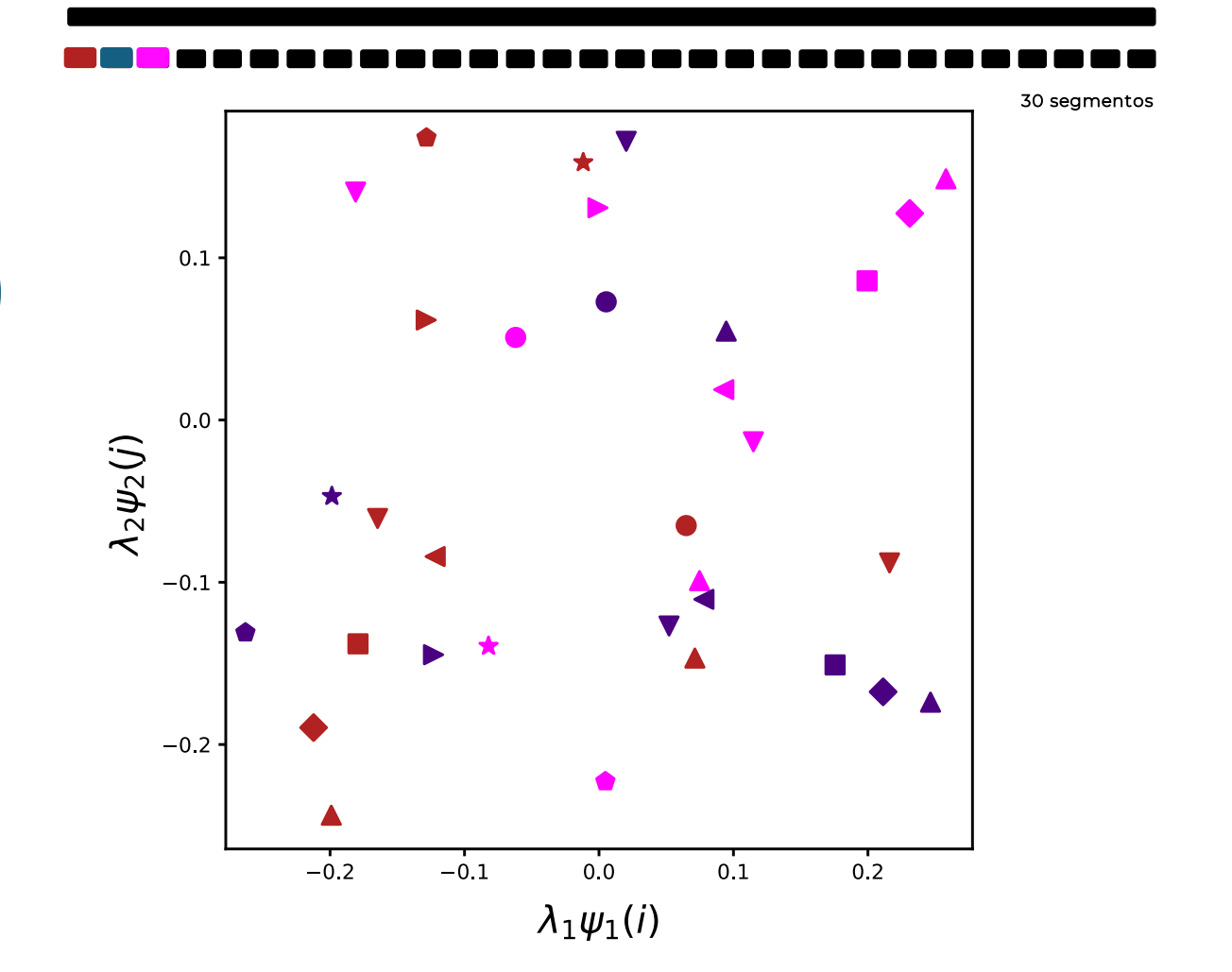


#### Descomposición espectral

#### 1. Modos de difusión dominantes

Paciente con 11 electrodos/nodos (1 Día Interictal)

10 minutos



#### 2. Anclaje en $\mathbb{R}^q$

Mapa de Difusión

$$\Psi: x \mapsto \begin{pmatrix} \lambda_1 \psi_1(x) \\ \lambda_2 \psi_2(x) \\ \vdots \\ \lambda_q \psi_q(x) \end{pmatrix}$$

- ✓ Conserva la estructura global del grafo de conectividad funcional
- ✓ Proporciona una representación latente con interpretación dinámica















# Alineación de las redes proyectadas en $\mathbb{R}^2$

#### Análisis de Procrustes Generalizado

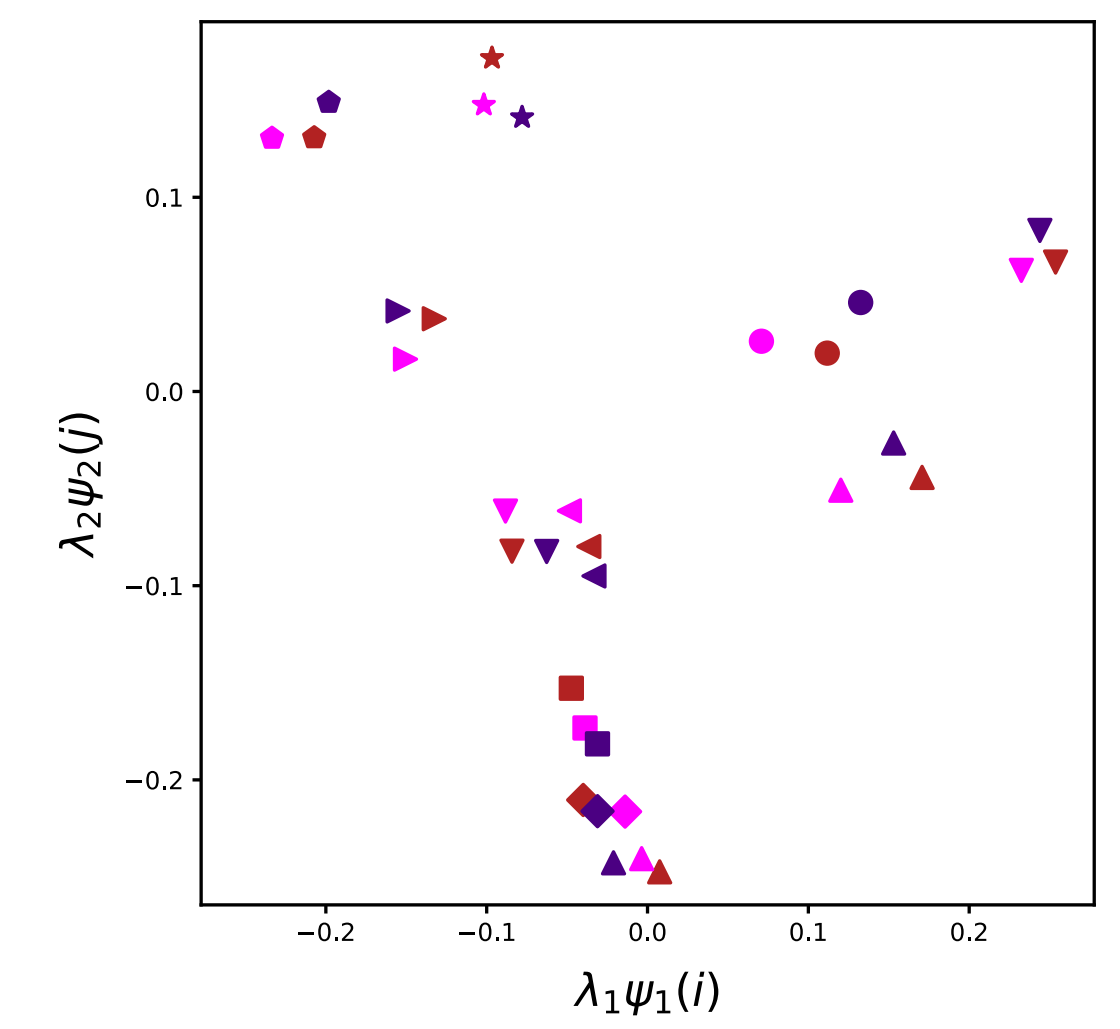
Gower, J. C., Psychometrika, 1975

$$\mathbf{X}^{(k)} \mapsto \mathbf{Y}^{(k)} = b^{(k)} \mathbf{X}^{(k)} \mathbf{T}^{(k)} + \mathbf{C}^{(k)}$$

Escalamiento

Reflexión y Rotación

Traslación









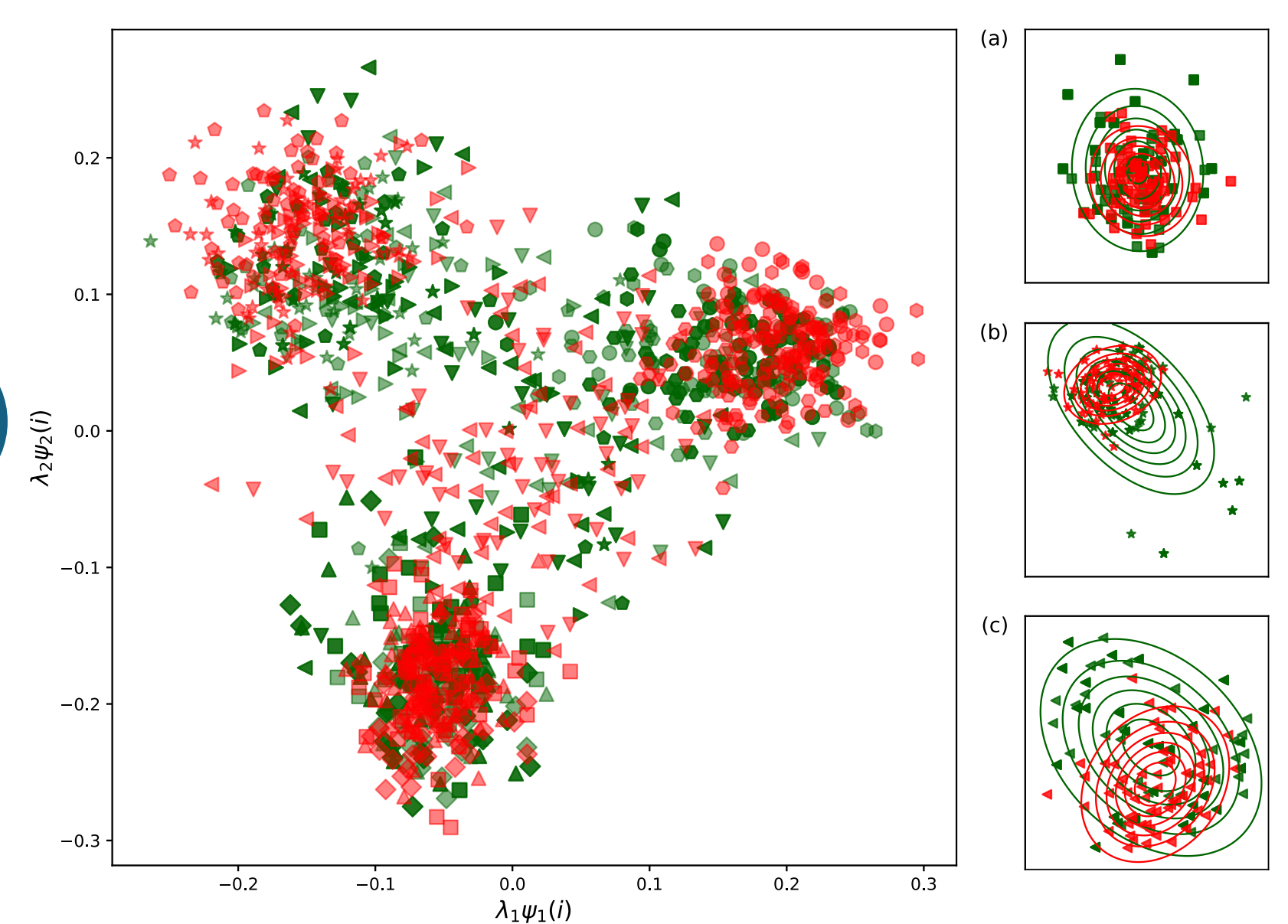








#### Paciente con 11 electrodos/nodos Todos los segmentos de 4 días Interictales y 2 días Preictales



Existen nodos con distribución potenciales para discriminación de estados



Clasificar y Predecir











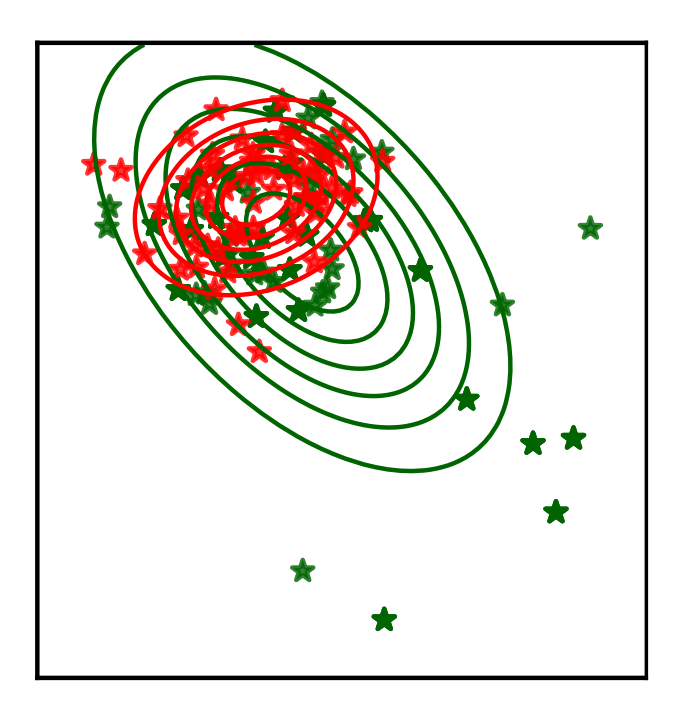




## Identificación de Nodos Relevantes

#### Distancia de Bhattacharyya

$$D_b(i) = rac{1}{8} (oldsymbol{\mu}_i^{ ext{pre}} - oldsymbol{\mu}_i^{ ext{inter}})^T igg[rac{oldsymbol{\Sigma}_i^{ ext{inter}} + oldsymbol{\Sigma}_i^{ ext{pre}}}{2}igg]^{-1} (oldsymbol{\mu}_i^{ ext{pre}} - oldsymbol{\mu}_i^{ ext{inter}}) + rac{1}{2} \ln rac{igg|rac{oldsymbol{\Sigma}_i^{ ext{inter}} igg|^{1/2}}{igg|oldsymbol{\Sigma}_i^{ ext{inter}} igg|^{1/2}}$$



- ✓ Distancia simétrica
- ✓ Incorpora la morfología de las distribuciones
- ✓ Mayor distancia -> Mayor diferencia
- X Sensible a la elección de la red de referencia















#### Testeo de hipótesis nula

Construcción de distribuciones nulas empíricas mediante la aleatorización de etiquetas de clase.

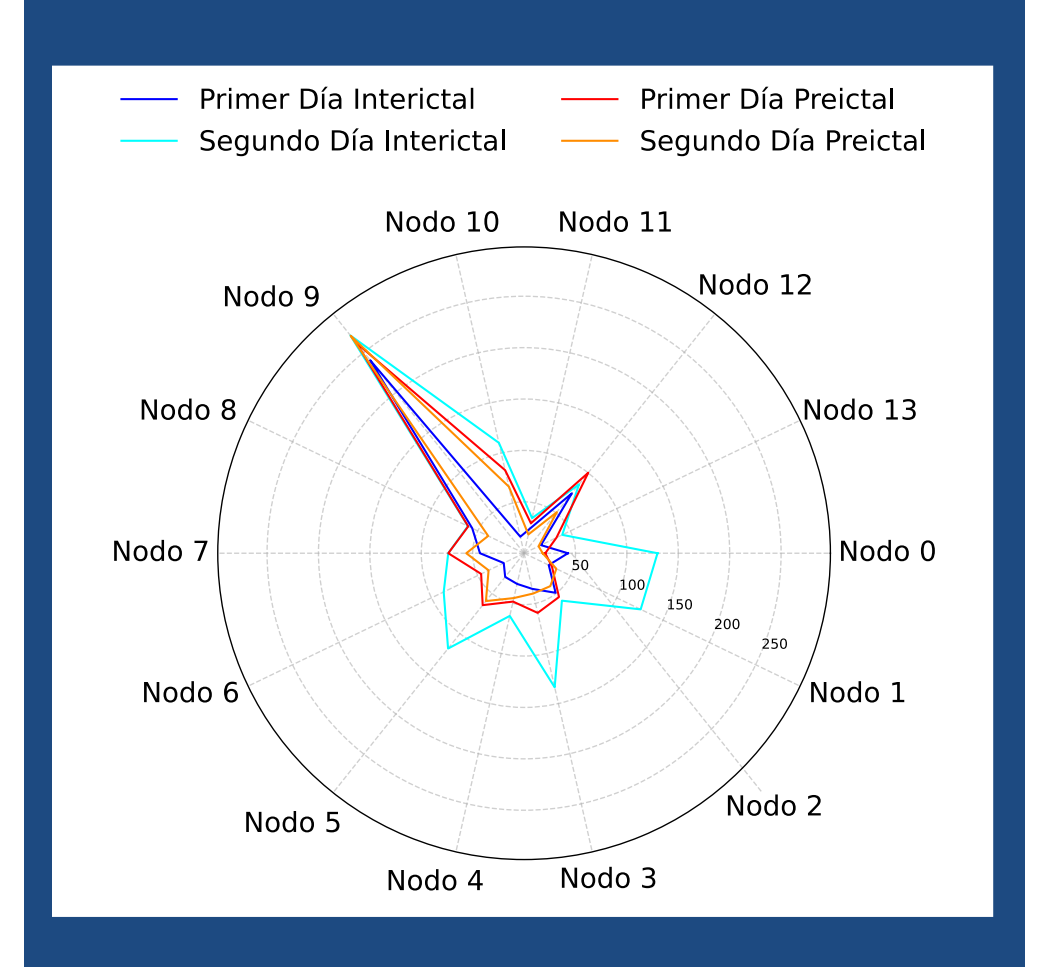
# 21 Segmentos 80 Permutaciones de referencia para cada una

Maris, E. and Oostenveld, R., Journal of neuroscience methods, 2007

### Distribución nula por nodo (**Z-score**)

$$Z(i) = \frac{D_B(i) - \mu_i}{\sigma_i}$$

# Persistencia de nodos representativos

















## Discriminación de estado Preictal

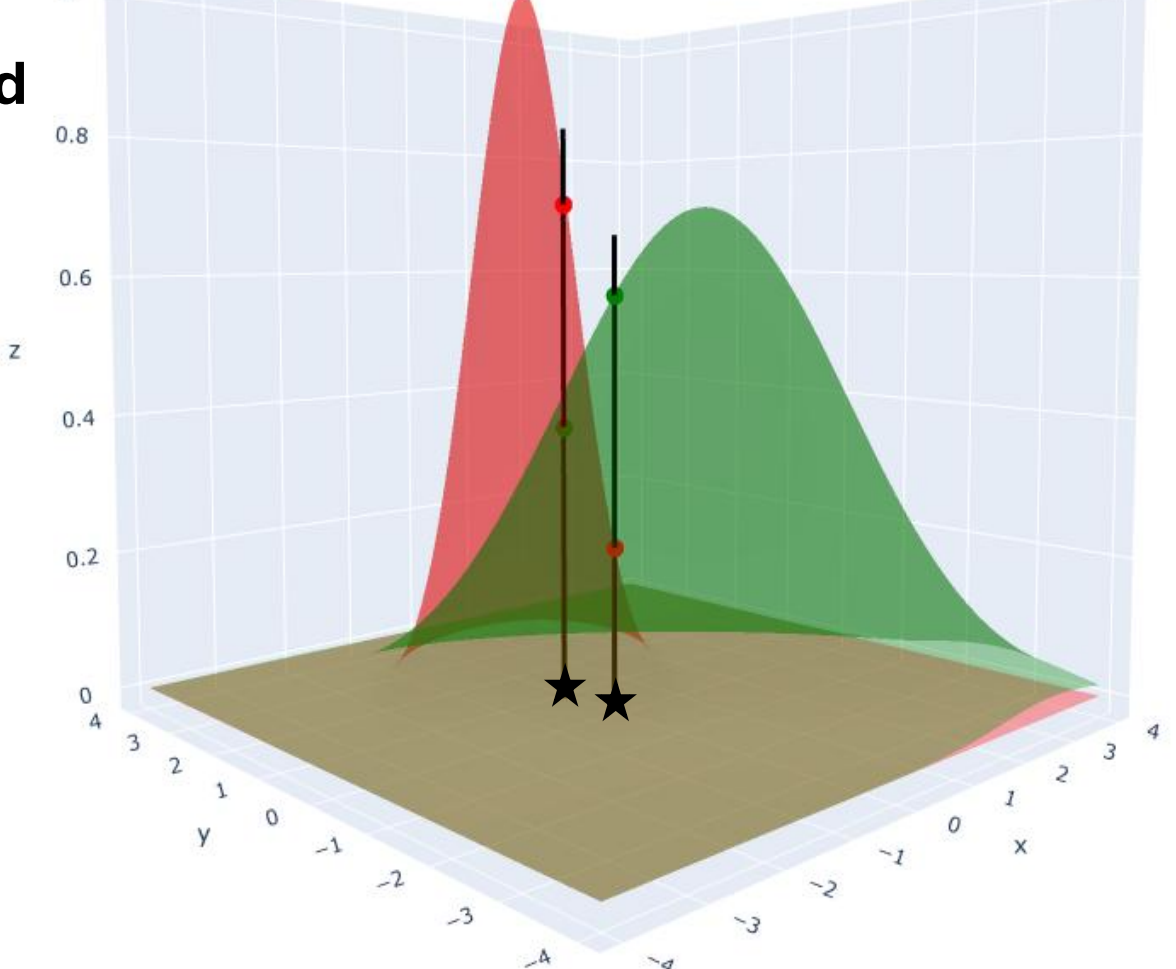
Asignar una probabilidad relativa a un segmento de pertenecer a un estado Preictal

#### Función de Densidad de Probabilidad

#### Biomarcador Preictal ${\mathcal B}$

$$\mathcal{B}(\mathbf{x}_{i^*}) = \frac{PDF_{\text{inter}}(\mathbf{x}_{i^*})}{PDF_{\text{pre}}(\mathbf{x}_{i^*})}$$

$$s(\mathbf{x}_{i^*}) = \begin{cases} \text{preictal}, & \text{si } \mathcal{B}(\mathbf{x}_{i^*}) \leq 1\\ \text{interictal}, & \text{si } \mathcal{B}(\mathbf{x}_{i^*}) > 1 \end{cases}$$







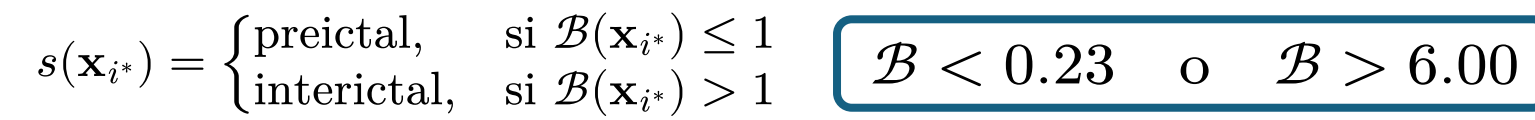




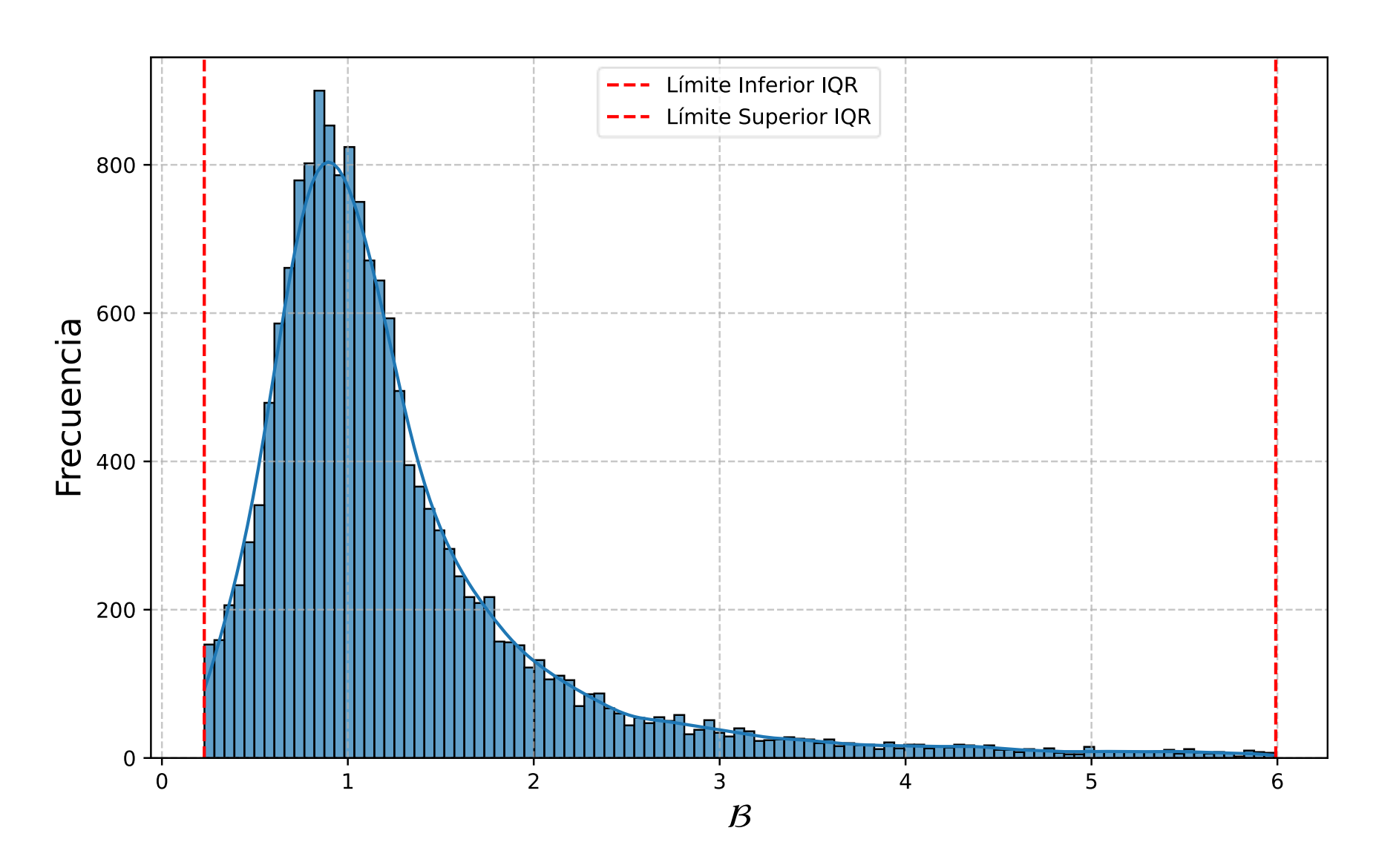








$$\mathcal{B} < 0.23$$
 o  $\mathcal{B} > 6.00$ 











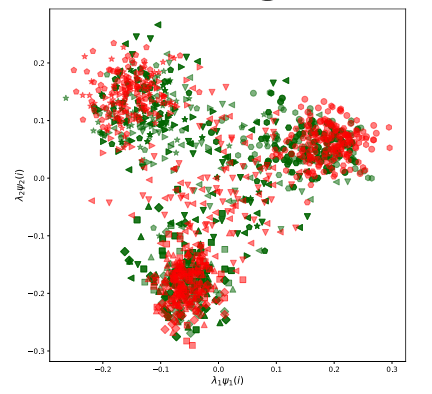




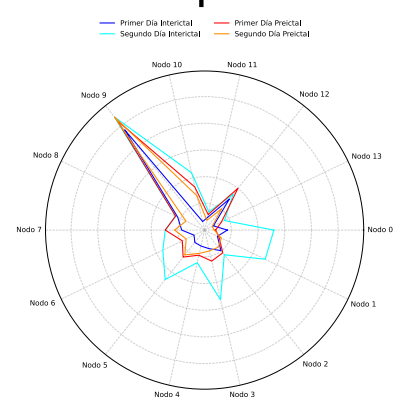


#### Entrenamiento

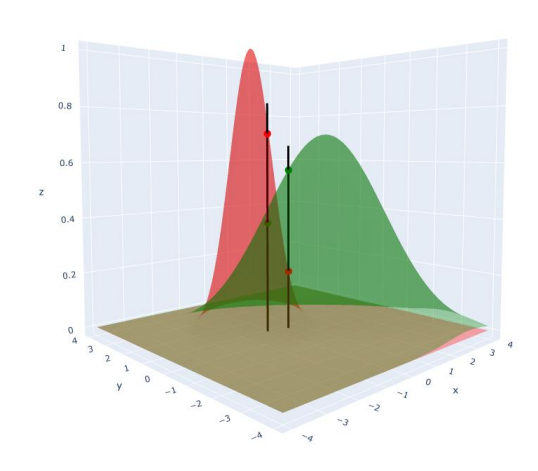
#### Embedding alineado



#### 3 nodos representantes



#### Testeo



Asignación a clase por Promedio Categórico  $\mathsf{de}\,\mathcal{B}$ 

#### Clasificación de estado Preictal

**Leave-One-Out Cross-Validation** 





Día 2



Día 3



Día 4







Día 5





Día 1



Día 2



Día 3





Día 4





Día 5

Día 6







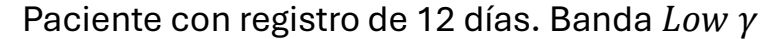


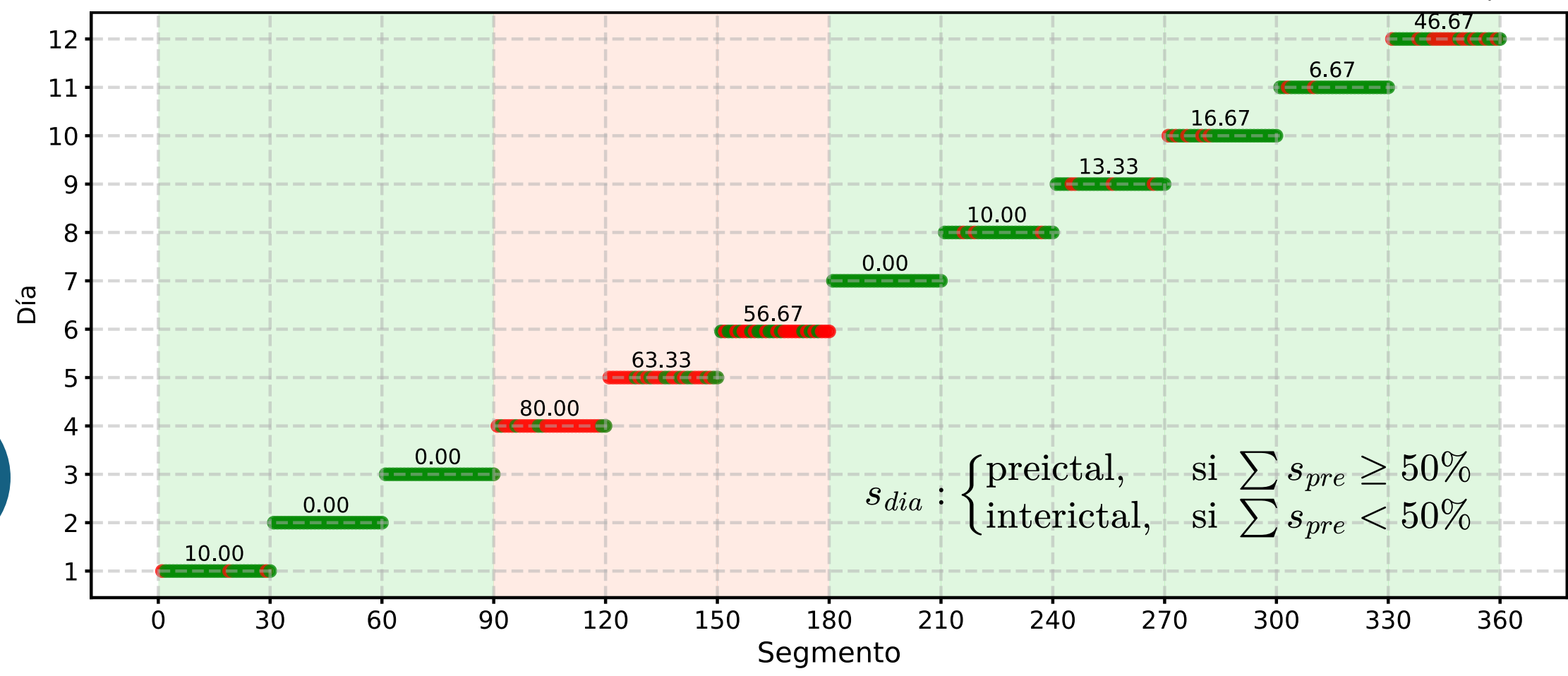






## Clasificación de estados Preictales





- ✓ Existencia de clasificación heterogénea por día
- ✓ Capacidad de clasificación







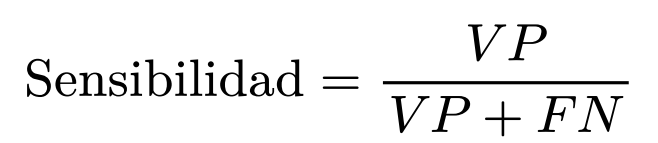








#### Métricas



Taza de verdaderos positivos

#### Matrices de confusión



#### Para datos desbalanceados

$$\text{Precisión balanceada} = \frac{1}{2} \left( \frac{VP}{VP + FN} + \frac{VN}{VN + FP} \right) \text{ Buena clasificación de ambas clases}$$

$$F1\text{-score} = 2 \cdot \frac{\text{Precisi\'on} \cdot \text{Sensibilidad}}{\text{Precisi\'on} + \text{Sensibilidad}} = \frac{2 \cdot VP}{2 \cdot VP + FP + FN}$$

Buena clasificación Preictal















## Clasificación de estados Preictales

#### **Métricas Globales**

Banda	F1-score	Precisión balanceada
δ	$0.52 \pm 0.27$	$0.53 \pm 0.14$
heta	$0.52 \pm 0.25$	$0.55 \pm 0.19$
$\alpha$	$0.52 \pm 0.23$	$0.52 \pm 0.16$
eta	$0.49 \pm 0.26$	$0.50 \pm 0.19$
Low $\gamma$	$0.51 \pm 0.20$	$0.51 \pm 0.16$
High γ	$0.60 \pm 0.23$	$0.57 \pm 0.12$
Mejor banda por paciente	$0.70 \pm 0.23$	$0.68 \pm 0.12$

**Sensibilidad** 69%

Método	F1-score	Precisión balanceada	Precisión	
Euclídeo	$0.70 \pm 0.23$	$0.68 \pm 0.12$	_	
Hiperbólico	$0.78 \pm 0.18$	_	$\textbf{0.77} \pm \textbf{0.13}$	Guillemaud, M., npj Systems Bioogy
Support Vector Machine	0.79 [0.62–1.00]	_	0.85 [0.62–1.00]	and Applications, 2024









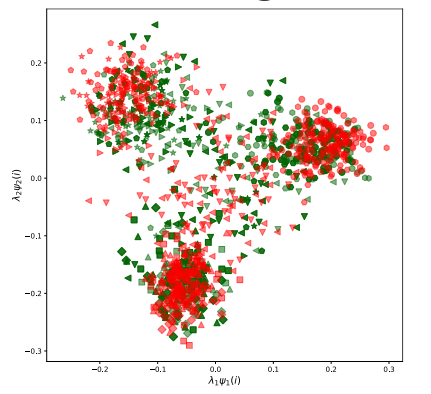




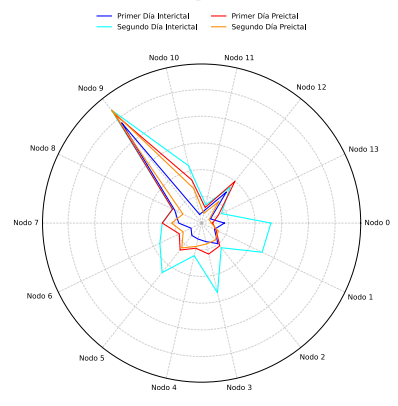


#### Entrenamiento

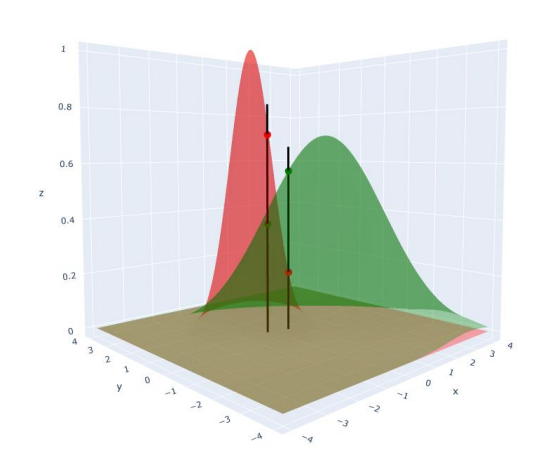
#### Embedding alineado



#### 3 nodos representantes



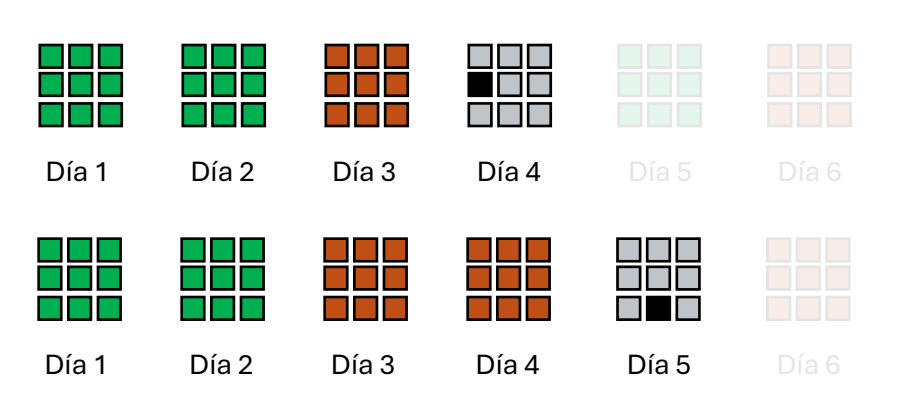
#### Testeo



Asignación a clase por Promedio Categórico  $\operatorname{de}\mathcal{B}$ 

Predicción de estado Preictal

Validación Pseudo-Prospectiva









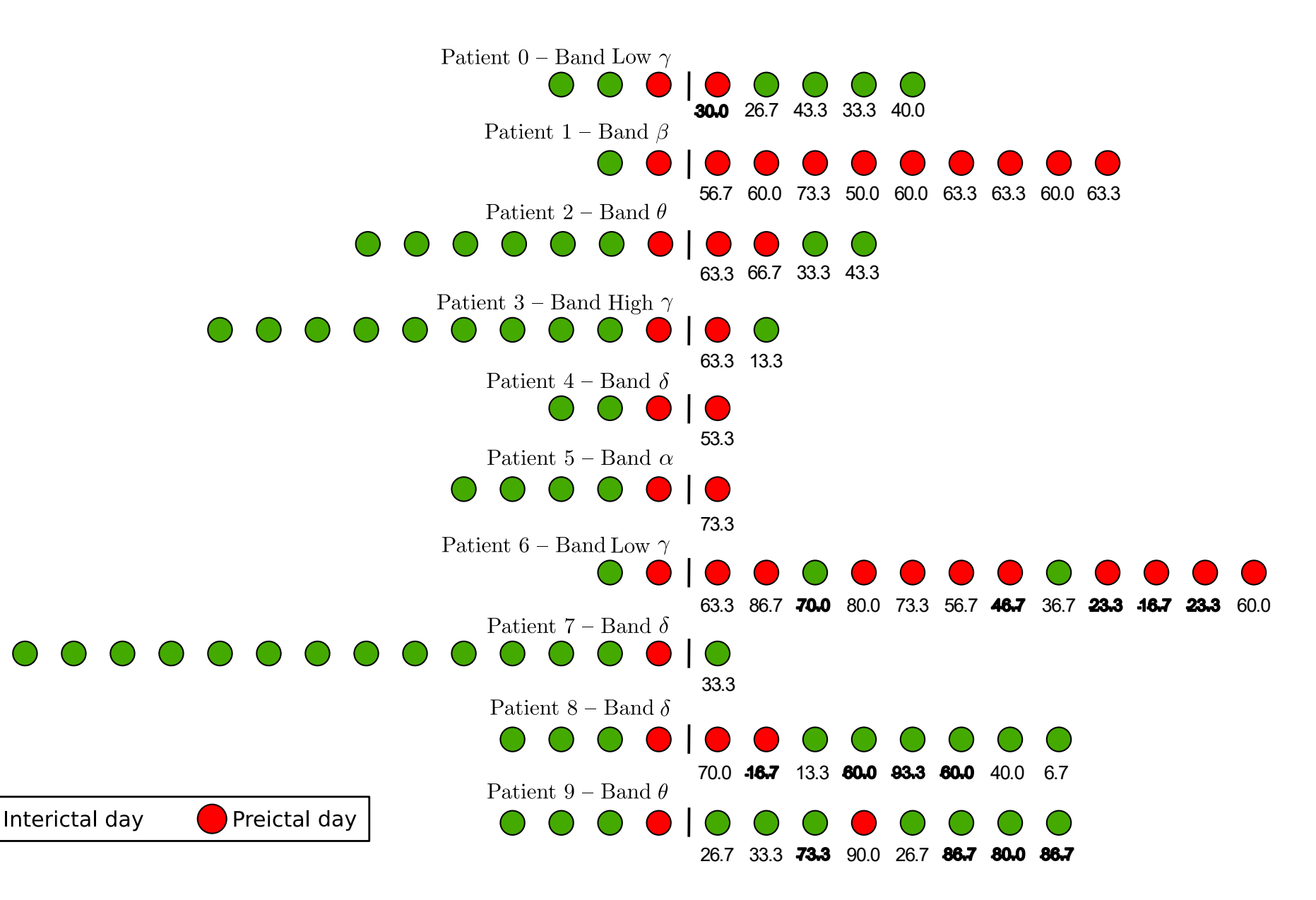








## Predicción de estados Preictales





## Predicción de estados Preictales













Banda	Precisión	Brier score
δ	$0.55 \pm 0.17$	$0.45 \pm 0.17$
heta	$0.55 \pm 0.09$	$0.45 \pm 0.09$
$\alpha$	$0.49 \pm 0.15$	$0.51 \pm 0.15$
$oldsymbol{eta}$	$0.50 \pm 0.14$	$0.50 \pm 0.14$
Low $\gamma$	$0.51 \pm 0.12$	$0.49 \pm 0.12$
High γ	$0.49 \pm 0.13$	$0.51 \pm 0.13$
Mejor banda por paciente	$0.65 \pm 0.14$	$0.36 \pm 0.14$

Sensibilidad 78.58%

Método	Precisión (accuracy)	Brier Score
Euclídeo	$0.65 \pm 0.14$	$0.36 \pm 0.14$
Hiperbólico	$0.87 \pm 0.17$	$\textbf{0.12} \pm \textbf{0.12}$
Support Vector Machine	_	0.13 [0.00-0.35]

Guillemaud, M., npj Systems Bioogy and Applications, 2024















- 1. Las representaciones de redes en espacios euclídeos de baja dimensión, permiten discriminar los días Preictales.
- 2. El modelo planteado permite identificar nodos discriminativos específicos que se mantienen estables a lo largo del tiempo.
- 3. El biomarcador  $\mathcal{B}$  propuesto constituye una herramienta prometedora para la clasificación y predicción del riesgo de crisis.
- 4. El modelo alcanza niveles de desempeño competitivos en tareas de clasificación y predicción.
- 5. Las bandas  $\delta$ ,  $\theta$  y Low  $\gamma$  concentran la mayor parte de la información discriminativa, aunque su efectividad varia entre pacientes.







☐ El modelo es sensible a la elección del segmento de referencia Interictal.



☐ Es importante seguir explorando las ventajas y desventajas de los espacios geométricos en estos sistemas con estructuras jerárquicas.



☐ No existe una banda universalmente optima.































Euler (1736) Erdös y Rényi (1950s) Watts y Strogatz (1998) Puentes de Königsberg Formación de redes Redes Small-World IN PHYSICS 2021 Giorgio Parisi Klaus Manabe Hasselmann "for the physical modelling of Earth's climate, quantifying for the discovery of the interplay of disorder and variability and reliably predicting global warming" THE ROYAL SWEDISH ACADEMY OF SCIENCES Barabási y Albert (1999) (2000s) Giorgio Parisi (2021) Redes Scale-Free Explosión Interdisciplinaria Premio Nobel

### Epilepsia

Es un trastorno cerebral caracterizado principalmente por interrupciones recurrentes e impredecibles de la actividad cerebral normal. Estas interrupciones, conocidas como crisis epilépticas pueden afectar funciones sensoriales, motoras y autonómicas, así como alterar el estado de conciencia, las emociones, la memoria, la cognición o el comportamiento (Fisher et al., 2005).

"El cerebro convulso" por Suzanne O'Sullivan



Focalizada Wahid



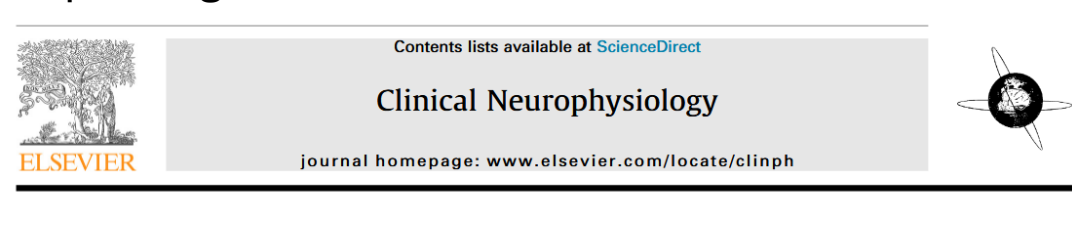
Focalizada Donal



Generalizada Maya

#### Variaciones frente al enfoque de redes complejas

#### Espectrogramas



Sensibilidad 75.8%

Epileptic seizure prediction using relative spectral power features

Mojtaba Bandarabadi\*, César A. Teixeira, Jalil Rasekhi, António Dourado

CISUC/DEI, Center for Informatics and Systems of the University of Coimbra, Department of Informatics Engineering, Polo II, 3030-290 Coimbra, Portugal

esentation of 10 min of raw hippocampal iEEG signal. The sampling rate for this patient was 1024 Hz. Most of the spectral energy is limited to <100 Hz frequencies, a proof of that the power within the frequencies higher than 128 Hz is negligible in comparison to the frequency range of 30-128 Hz.

# Redes neuronales Deep Learning

# Efficient Epileptic Seizure Prediction Based on Deep Learning

Hisham Daoud and Magdy A. Bayoumi, Life Fellow, IEEE

Abstract—Epilepsy is one of the world's most common neurological diseases. Early prediction of the incoming seizures has a great influence on epileptic patients' life. In this paper, a novel patient-specific seizure prediction technique based on deep learning and applied to long-term scalp electroencephalogram (EEG) recordings is proposed. The goal is to accurately detect the preictal brain state and differentiate it from the prevailing interictal state

Interictal	Preictal	
	***	***
False Alarm	True Alarm	

CrossMark

Fig. 1. Brain states in a typical epileptic

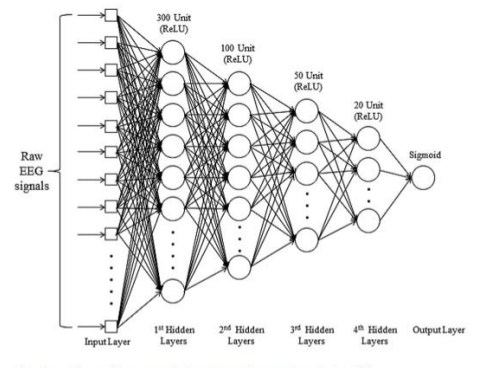


Fig. 6. The architecture of the proposed MLP based classifier.

#### Redes complejas

- ✓ Preservación de estructura espacial
- Proyección en espacios matemáticos interpretables
- Análisis estadísticos y geométricos sobre la estructura cerebral

# Comparación de métodos de Neuroimagen

Característica	fUS	fMRI	iEEG
Descripción del método	Ultrasonido Doppler cerebral de alta res- olución	Imagen funcional basada en niveles de oxígeno en sangre (BOLD)	Registro eléctrico in- tracraneal directo
Resolución temporal	≤100 ms	$\sim$ 1–2 s	≈1 ms
Resolución espacial	$\sim 100 \ \mu \mathrm{m}$	$\sim$ 1–3 mm	~1 cm
Cobertura	Parcial (requiere acceso óseo)	Cerebro completo	Limitada al área implan- tada
Principio	Doppler de ultrasonido	Señal BOLD (flujo sanguíneo dependiente de oxígeno)	Potenciales eléctricos neuronales
Tipo de señal	Indirecta (hemodinámica)	Indirecta (hemodinámica)	Directa (eléctrica)
Notas relevantes	Alta resolución; experimental en humanos	Buena cobertura pero limitada en dinámica rápida	Ideal para análisis dinámico de conectivi- dad funcional

Cohen, I., et al,. Nature methods, (2015)

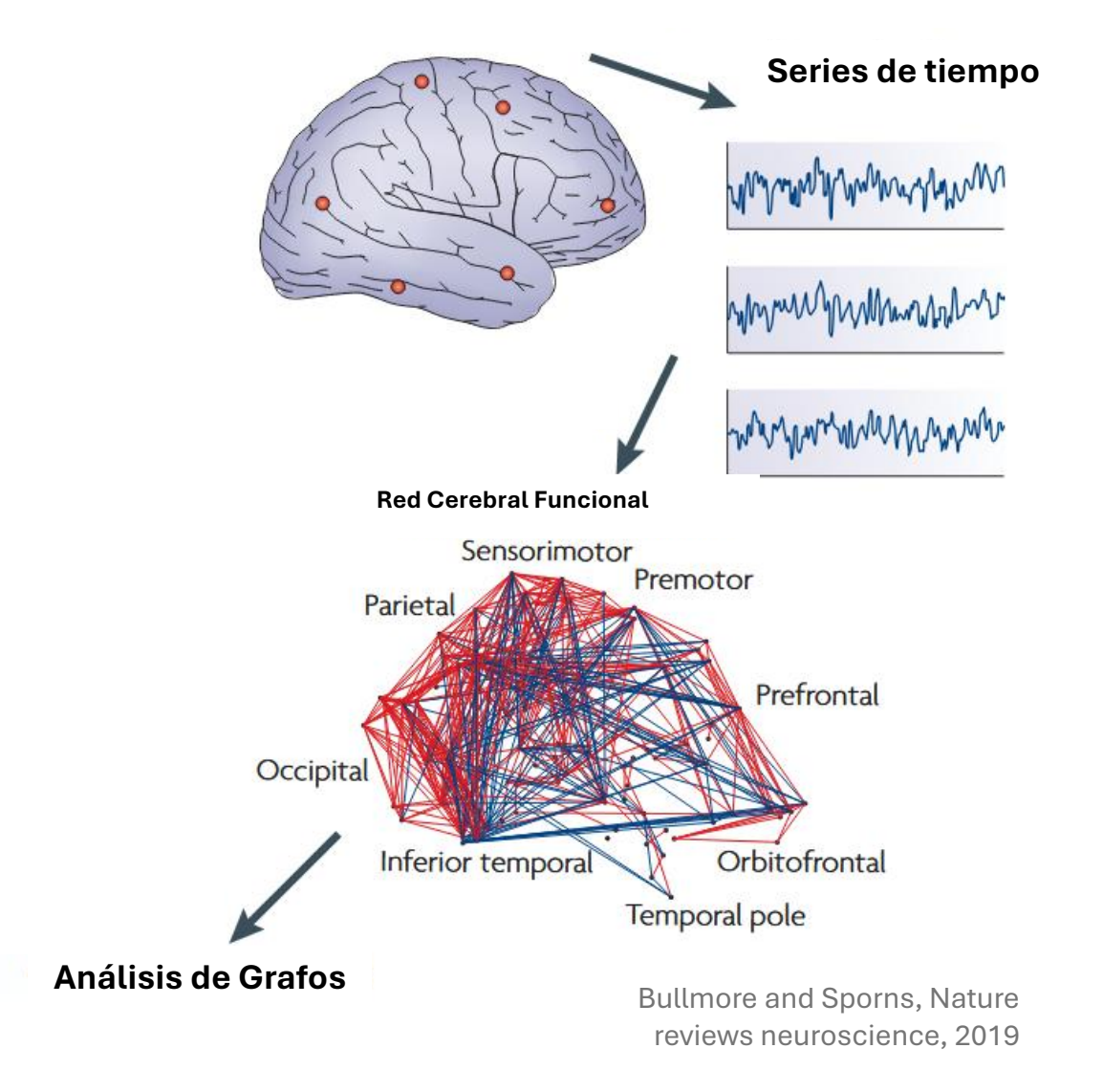
Deffieux, T., et al., *Neuroscience*, (2021)

# Redes Complejas en Neurociencia

- Registro de actividad cerebral
  - Encefalografía

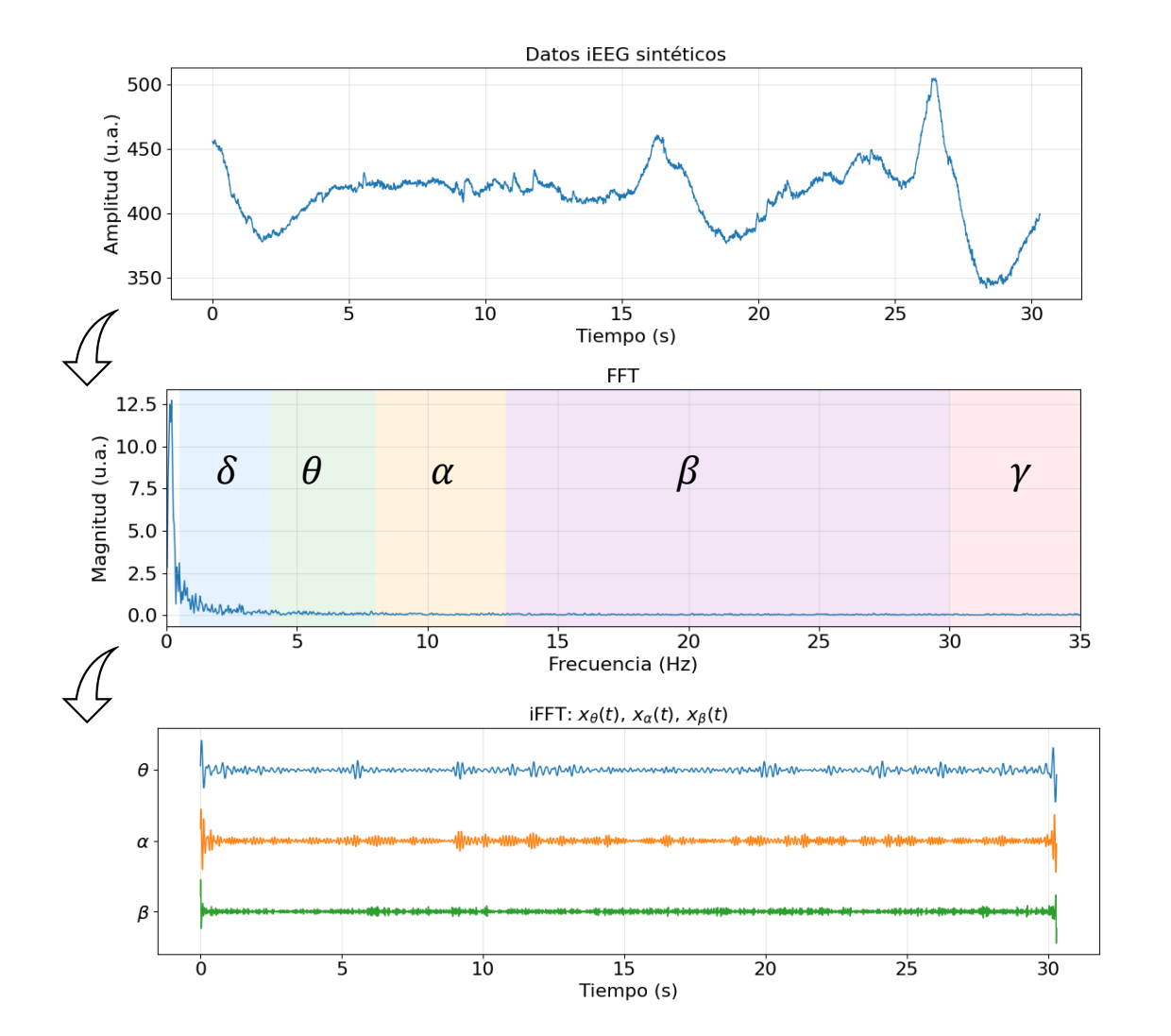
- Construcción del grafo
  - > Filtrado

- > Análisis del Grafo
  - > Anclaje al espacio Euclídeo



# Tratamiento de las series de tiempo (Phase-Locking Value)

Métrica que cuantifica la consistencia temporal de la diferencia de fase entre dos señales oscilatorias a lo largo del tiempo.

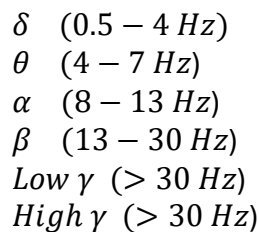


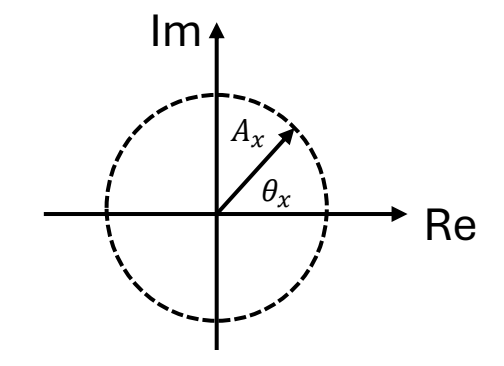
- Sensible a cambios sutiles en la dinámica de sincronización
- Requiere ventanas temporales cortas (5s)
- Produce matrices estables y simétricas

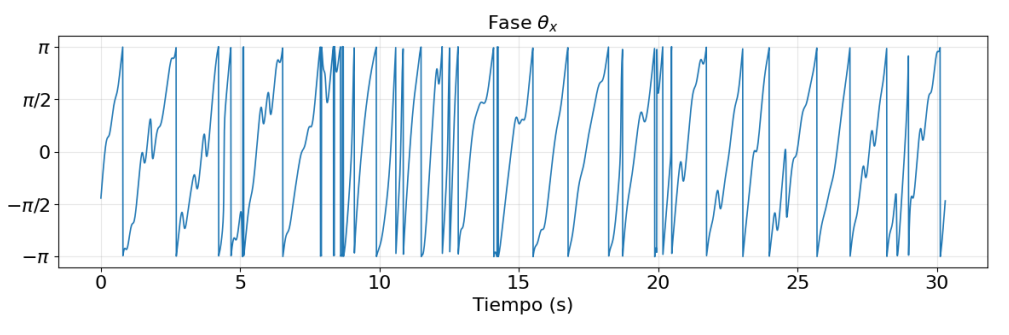
  Le Van QM et al., Clin
  Neurophysiol, 2005

#### Transformada de Hilbert

$$\zeta_x(t) = x(t) + i ilde{x}(t) = A_x(t) e^{i heta_x(t)}$$







Chávez, M. et al. IEEE Transactions on Biomedical Engineering, 2003

# Comparación de métodos de tratamiento de señal Phase Locking Value vs weighted phase lag index

Característica o ventaja	PLV	wPLI	Comentario	
Mide sincronización de fase pura	Sí	Sí	Ambos lo hacen, pero wPLI enfatiza desfases distintos de 0 o $\pi$	
Apto para señales no estacionarias	Sí	Sí	Eficaces en iEEG, incluso en ventanas móviles	
Detecta hiper- o hipo-sincronía preictal localizada	Sí	Parcial	PLV más sensible a cambios globales; w PLI puede ignorar fases cercanas a $0$	
Captura dinámicas espacio-frecuencia	Sí	Parcial	wPLI pierde sincronías próximas a 0; PLV más completo espectralmente	
Elimina conexiones espurias por volumen conductor	No	Sí	Ventaja principal de wPLI frente a PLV	
Produce matrices simétricas útiles para embeddings	Sí	Sí	Ambos generan matrices adecuadas para análisis geométrico	
Sensibilidad a todo el rango de fases	Sí	No	wPLI descarta fases cercanas a 0 y $\pi$	
Validación para predicción preictal	Sí	Parcial	PLV tiene más respaldo clínico en epilep- sia; wPLI menos validado	
Requiere gran número de ciclos para estabilidad	Parcial	Sí	PLV más estable en ventanas cortas; wPLI requiere más muestras	

# Construcción, tratamiento y anclaje de redes de conectividad cerebral

#### **Grafo Inicial**

#### $G^* = (\Omega, W^*)$

 $\Omega$ : Conjunto de electrodos i

$$W^* = \{w_{ij}^*\}_{i,j \in \Omega}$$

#### Filtrado de Grafo

#### Minimum Spanning Tree

$$C = 1 - W \qquad \quad T_{ ext{MST}} = rg \min_{T \subseteq E} \sum_{(i,j) \in T} c_{ij}$$

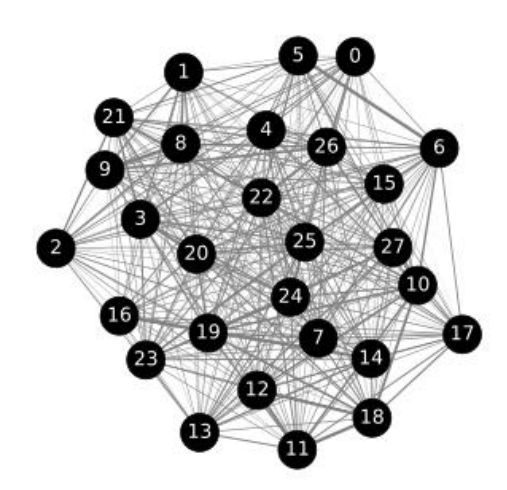
Kruskal, J. B., Proceedings of the American Mathematical society, 1956

#### *Grado Medio* $\langle k \rangle = 3$

Número de enlaces incidentes sobre un nodo

$$\langle k \rangle = \sum_k k \, P(k)$$

De Vico Fallani, F. et al., PLoS computational biology, 2017



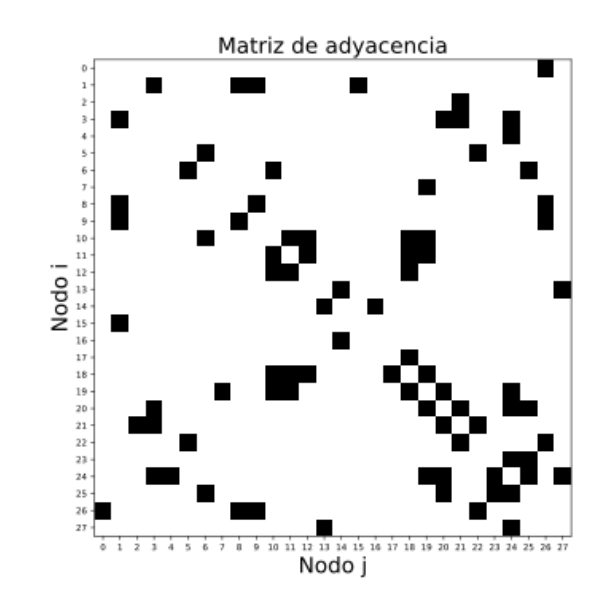
- Robusto a perturbaciones en la conectividad Stam, C. J., International Journal of Psychophysiology, 2014
- Evita el sesgo introducido por la selección arbitraria de umbrales (en comparación con otros métodos)
- Amplio uso y aceptación en neurociencia Stam, C. J., Nature Reviews Neuroscience, 2014

#### Matriz de Adyacencia

$$G(\Omega, W)$$

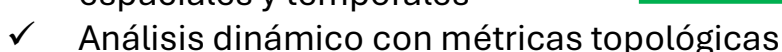
$$W \in \{0,1\}^{n \times n}$$

$$w_{ij} = \begin{cases} 0, & \text{no existe enlace} \\ 1, & \text{si existe enlace} \end{cases}$$



#### Descripción Individual de Red

- ✓ Codifica la interacción entre electrodos
- ✓ Cuantifica patrones de sincronización neuronal
- Puede capturar patrones espaciales y temporales

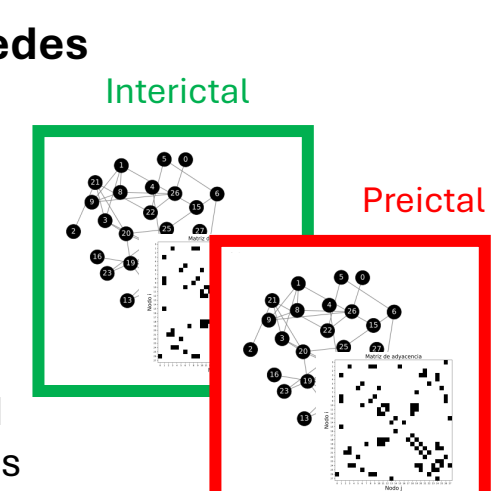


- · Grado, Camino corto, Modularidad
- √ Facilita la localización de nodos con comportamiento anómalo

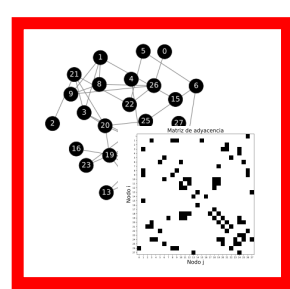
Interictal

## Comparación de Dinámica entre Redes

- X Alta dimensionalidad
- X Alto costo computacional
- X Ambigüedad en interpretación clínica de las métricas
- X Comparar solo métricas agregadas ignora la estructura detallada de la red y la disposición espacial de conexiones



#### Preictal



#### Embedding en un espacio Euclídeo

✓ Reducción de dimensionalidad

 $\Phi: \mathbb{R}^{n \times n} \longrightarrow \mathbb{R}^q$ 

- Captura la conectividad de largo alcance y la estructura global de la red
- ✓ Comparación directa entre redes a través de métricas euclidianas estándar
  - Estables
  - Interpretables
- ✓ Facilidad de integración con aprendizaje automático
  - Clasificadores
  - Regresores

#### Difussion Maps

Discriminación entre sujetos sanos y con epilepsia

Chavez, M. et al., Physical Review Letters, 2010

# Difussion Maps Método de reducción de dimensionalidad no lineal basado en la proyección espectral de un proceso de difusión

Matriz de probabilidad de transición *P*--Cadena de Markov--

$$p_{ij} = rac{w_{ij}}{d_i} \qquad d_i = \sum_{k \in \Omega} w_{ik}$$

Métrica definida  $L^2$ : Distancia de difusión

$$d_{ij}^2 = \sum_{k \geq 0} \frac{(p_{ik} - p_{jk})^2}{\mu_k^*}$$

$$\mu_k^* = \frac{d_k}{\sum_{l \in \Omega} d_l}$$

#### **En Red**

Dos puntos tendrán una distancia pequeña si están conectados por muchos caminos dentro de la red

Descomposición espectral

$$|\lambda_0| \ge |\lambda_1| \ge \dots \ge |\lambda_{n-1}|$$

$$\varphi_k^T P = \lambda_k \varphi_k^T \quad \text{y} \quad P \psi_k = \lambda_k \psi_k$$



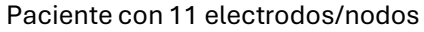


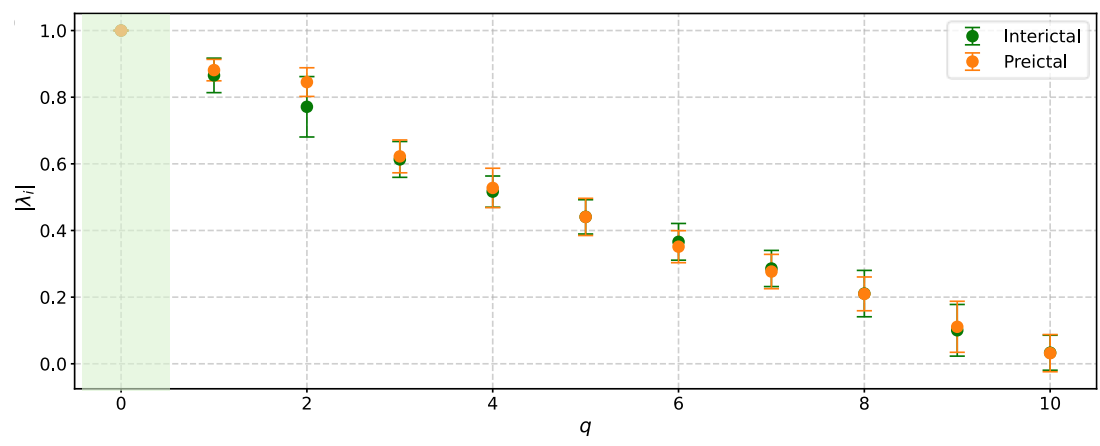
Reescritura

$$d_{ij}^2 = \sum_{k\geq 1} \lambda_k^2 (\psi_k(i) - \psi_k(j))^2$$

Distancia euclídea en  $\mathbb{R}^q$ 

$$d_{ij}^2 \simeq \sum_{k=1}^q \lambda_k^2 (\psi_k(i) - \psi_k(j))^2$$





Condición para la reducción de dimensionalidad

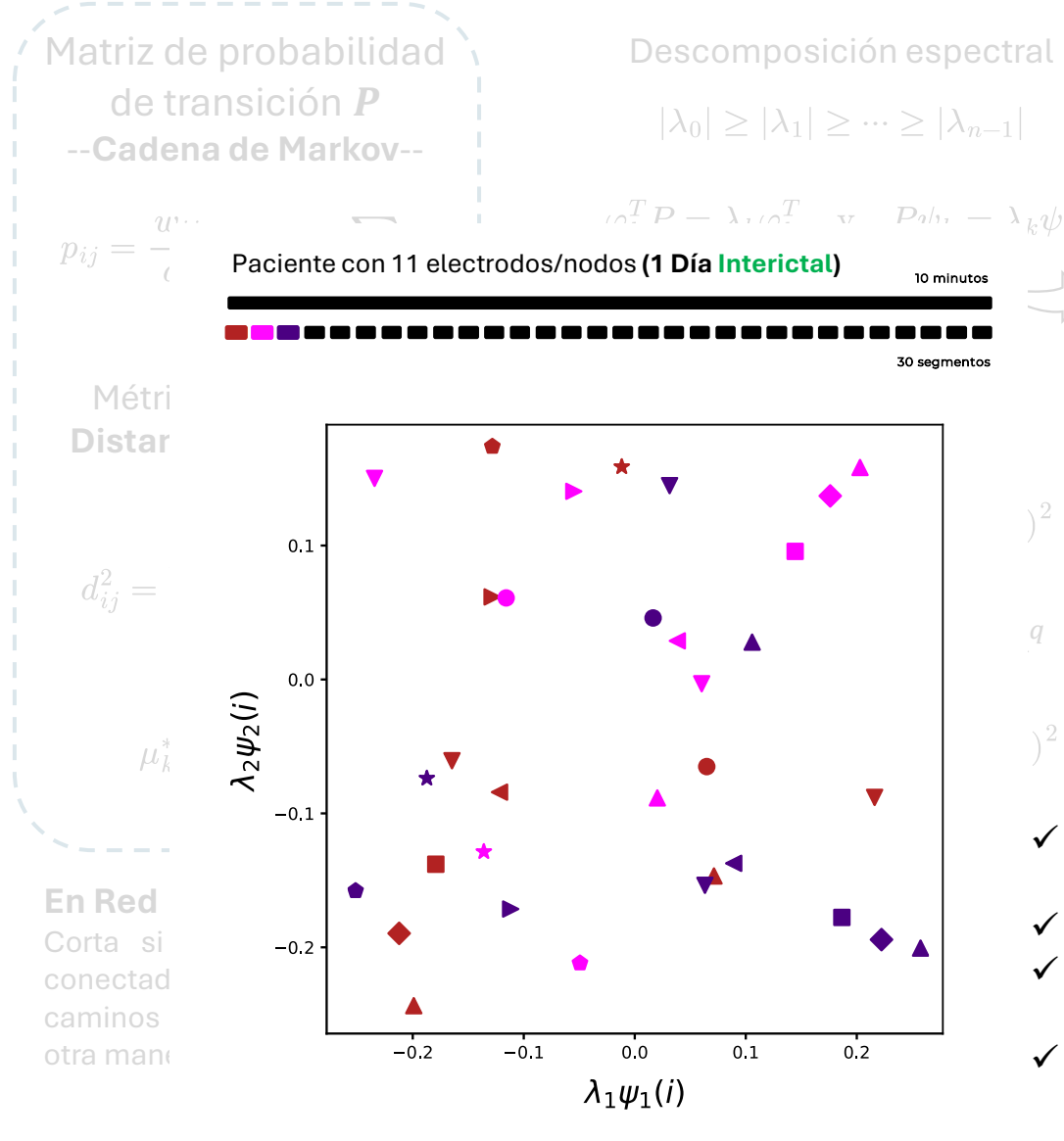
$$\lambda_0 = 1$$
 y  $\psi_0 \equiv 1$ 

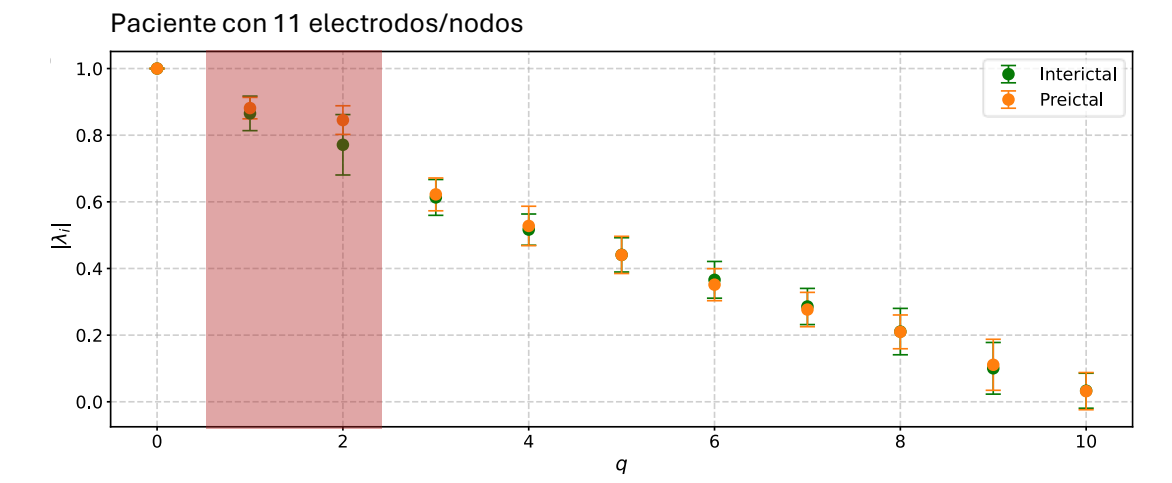
# Construcción del Mapa de Difusión $\Psi: x \mapsto egin{pmatrix} \lambda_1 \psi_1(x) \\ \lambda_2 \psi_2(x) \\ \vdots \\ \lambda_q \psi_q(x) \end{pmatrix}$

#### En Espacio Euclídeo

Dos puntos se proyectan cerca si poseen una fuerte conectividad funcional, lejos de otra manera.

# **Difussion Maps**





Condición para la reducciór de dimensionalidad

$$\lambda_0 = 1$$
 y  $\psi_0 \equiv 1$ 

- Discriminación entre sujetos sanos y con epilepsia
- ✓ Es un método determinista
- Conserva la estructura global del grafo de conectividad funcional
- Proporciona una representación latente con interpretación dinámica



#### En Espacio Euclídeo

Dos puntos se proyectan cerca si poseen una fuerte conectividad funcional, lejos de otra manera.

# Comparación de métodos Reducción de Dimensionalidad

Método	Definición / Idea central	Ventajas	Limitaciones	Uso en neuro- ciencia
PCA (Principal Component Analy- sis)	Proyección lineal sobre componentes ortogonales que maximizan la varianza global.	Muy rápido, simple y ampliamente conocido; buena interpretabilidad.	Sólo capta relaciones lineales; pierde estructura no lineal compleja.	Baseline común en análisis de EEG/fMRI y re- ducción inicial de conectividad.
Isomap	Construye un grafo de vecinos y reemplaza distancias euclídeas por geodésicas para la proyección.	Preserva estructura global en manifolds curvos; adecuado para datos no lineales.	Sensible a la elección de vecinos y al ruido; más costoso en grandes datasets.	Aplicado en dinámica cerebral para explorar manifolds de estados.
UMAP	Aproxima la topología del manifold mediante grafos de proximidad.	Rápido y estable; preserva tanto estructura local como global.	Dependiente de hiperparámetros; difícil interpretar cuantitativamente.	Creciente populari- dad en EEG/MEG y análisis dinámico de redes.
Diffusion Maps	Define un kernel de difusión basado en transiciones probabilísticas.	Robusto al ruido; preserva estructura global y relaciones dinámicas; interpretabilidad temporal.	Menos adoptado; requiere descomposición espectral.	Método emergente: aplicado en epilepsia y dinámica de redes, con originalidad y solidez matemática.

#### Isomap

Tenenbaum, J. B., Silva, V. D., & Langford, J. C. (2000). A global geometric framework for nonlinear dimensionality reduction. *science*, 290(5500), 2319-2323.

#### **UMAP**

McInnes, L., Healy, J., & Melville, J. (2018). Umap: Uniform manifold approximation and projection for dimension reduction. arXiv preprint arXiv:1802.03426.

#### **Difussion Maps**

Coifman, Ranalysis, 21(1), 5-30.. R., & Lafon, S. (2006). Diffusion maps. Applied and computational harmonic

# Alineación de las redes proyectadas en $\mathbb{R}^2$

#### Análisis de Procrustes Generalizado

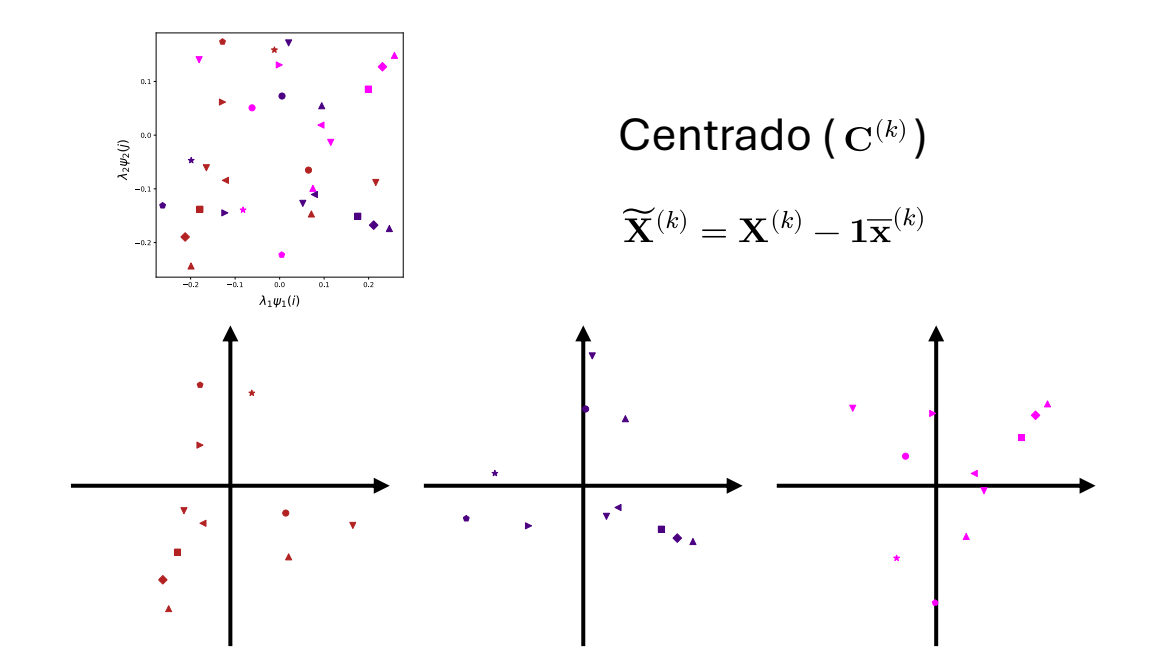
Método estadístico multivariado que compara y alinea múltiples elementos matriciales dentro de un espacio euclídeo común.

$$\mathbf{X}^{(k)} \mapsto \mathbf{Y}^{(k)} = b^{(k)} \mathbf{X}^{(k)} \mathbf{T}^{(k)} + \mathbf{C}^{(k)}$$

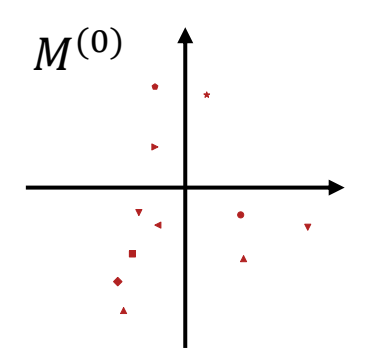
Gower, J. C., Psychometrika, 1975

Conjunto de K matrices  $\{\mathbf{X}^{(k)}\}_{k=1}^K$ 

De la forma 
$$\Psi^{(k)}(i):\mathbf{x}_i^{(k)}=\left(\lambda_1^{(k)}\psi_1^{(k)}(i),\ \lambda_2^{(k)}\psi_2^{(k)}(i)\right)\in\mathbb{R}^2$$



# Referencia y Alineamiento ( $\mathbf{T}^{(k)}$ )



Mediante Single Value Decomposition

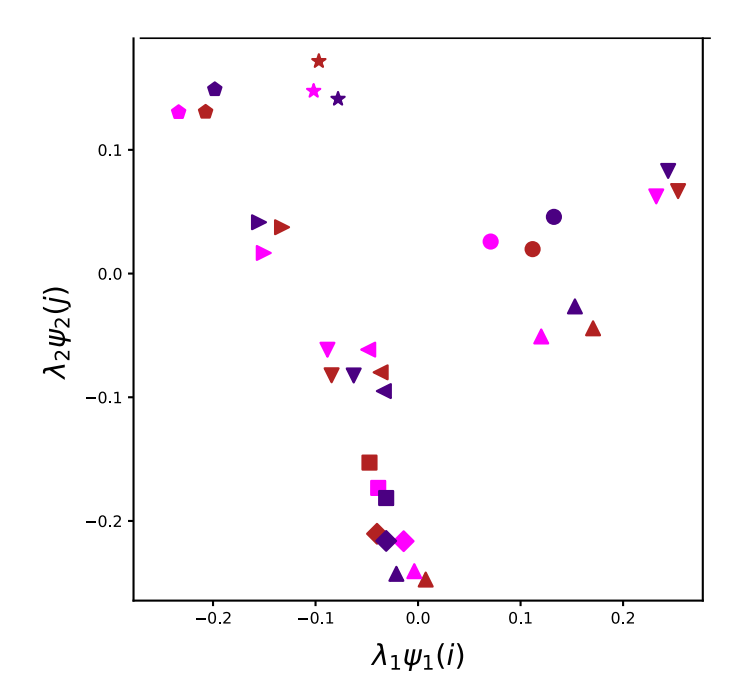
$$\mathbf{M}^{(0)}\widetilde{\mathbf{X}}^{(k)} = \mathbf{U}\mathbf{S}\mathbf{V}'$$

Matriz de rotaciones y reflexiones

$$\mathbf{T}^{(k)} = \mathbf{V}\mathbf{U}'$$

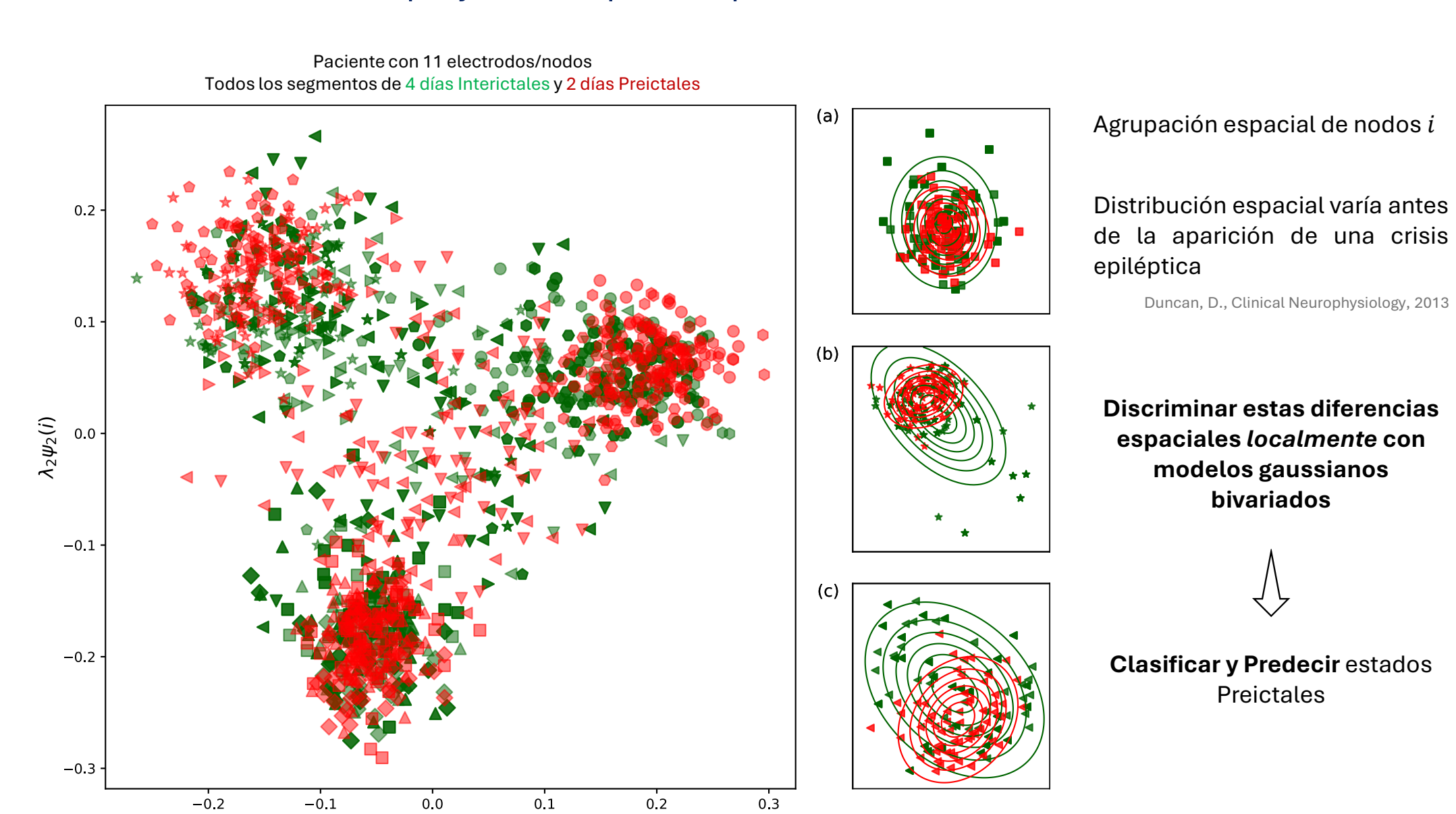
Minimización de distancia de Frobenius

$$\min \operatorname{tr} \left[ \left( \widetilde{\mathbf{X}}^{(k)} \mathbf{T}^{(k)} - \mathbf{M}^{(0)} \right)' \left( \widetilde{\mathbf{X}}^{(k)} \mathbf{T}^{(k)} - \mathbf{M}^{(0)} \right) \right]$$



# Alineación Total de las redes proyectadas para un paciente

 $\lambda_1 \psi_1(i)$ 



$$\mathbf{x}_i^s \in \mathbb{R}^2 \quad s \in \{\text{inter, pre}\}$$

#### Discriminación de estado Preictal

#### Identificación de Nodos Relevantes

Cuantificación de diferencia en distribución local **Distancia de Bhattacharyya** 

$$D_b(i) = rac{1}{8} (oldsymbol{\mu}_i^{ ext{pre}} - oldsymbol{\mu}_i^{ ext{inter}})^T igg[rac{oldsymbol{\Sigma}_i^{ ext{inter}} + oldsymbol{\Sigma}_i^{ ext{pre}}}{2}igg]^{-1} (oldsymbol{\mu}_i^{ ext{pre}} - oldsymbol{\mu}_i^{ ext{inter}}) + rac{1}{2} ext{ln} rac{igg|rac{oldsymbol{\Sigma}_i^{ ext{inter}} + oldsymbol{\Sigma}_i^{ ext{pre}}}{2}igg|}{igg|oldsymbol{\Sigma}_i^{ ext{inter}}igg|^{1/2}}$$

- ✓ Distancia simétrica
- ✓ Incorpora la morfología de las distribuciones
- ✓ Mayor distancia -> Mayor diferencia
- X Sensible a la elección de la red de referencia

#### Testeo de hipótesis nula

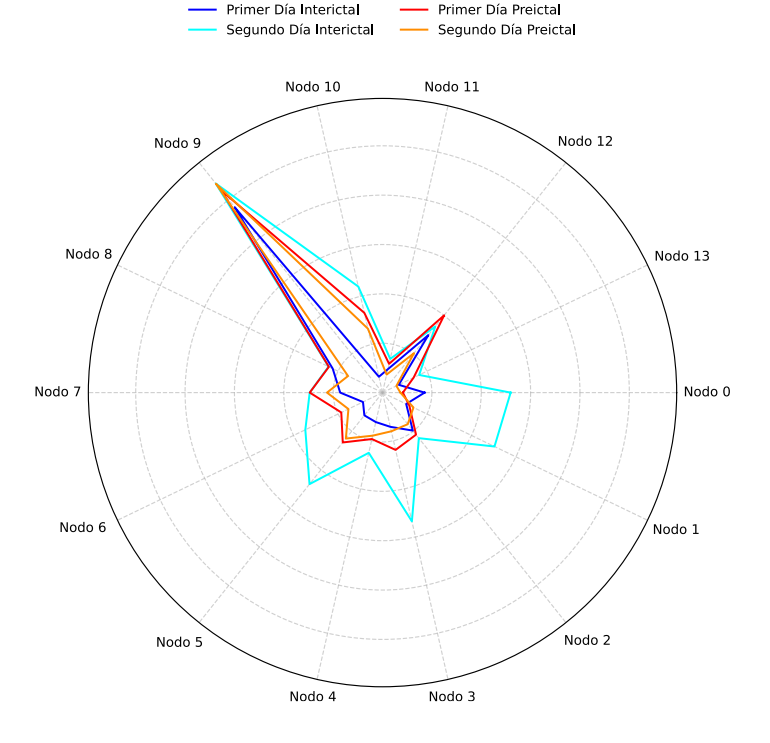
Construcción de distribuciones nulas empíricas mediante la aleatorización de etiquetas de clase.

Maris, E. and Oostenveld, R., Journal of neuroscience methods, 2007

#### Interictal Preictal \* \* \* \* \* \* $\phi \phi \phi$ 21 Segmentos Antes $\phi \phi \phi$ de referencia $\phi \phi \phi$ \*\*\* **☆ ⊕** ● 80 Permutaciones Después $\Diamond \bigstar \blacksquare$ **★**■● para cada una $\triangle \triangle \Rightarrow$

#### Biomarcador Preictal B

#### Paciente con 14 electrodos/nodos



#### Distribución nula por nodo (Z-score)

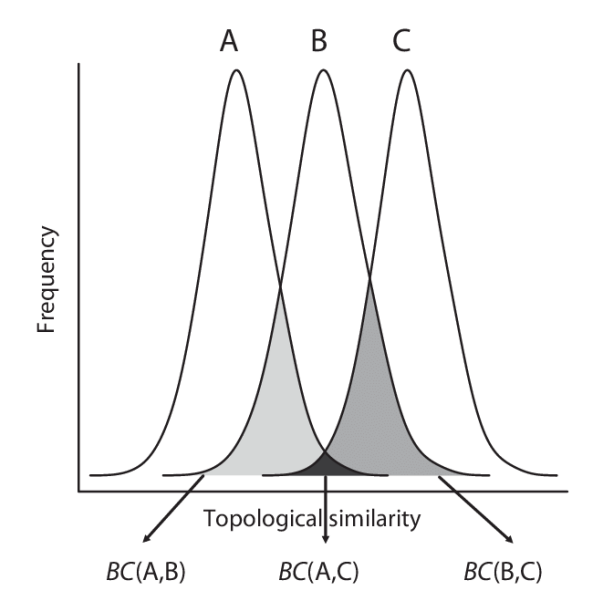
$$Z(i) = \frac{D_B(i) - \mu_i}{\sigma_i}$$

#### Métricas usadas

# Bhattacharyya

$$D_b(i) = rac{1}{8} (oldsymbol{\mu}_i^{ ext{pre}} - oldsymbol{\mu}_i^{ ext{inter}})^T igg[rac{oldsymbol{\Sigma}_i^{ ext{inter}} + oldsymbol{\Sigma}_i^{ ext{pre}}}{2}igg]^{-1} (oldsymbol{\mu}_i^{ ext{pre}} - oldsymbol{\mu}_i^{ ext{inter}}) + rac{1}{2} ext{ln} \, rac{igg|rac{oldsymbol{\Sigma}_i^{ ext{inter}} + oldsymbol{\Sigma}_i^{ ext{pre}}}{2}igg|}{igg|oldsymbol{\Sigma}_i^{ ext{inter}} igg|^{1/2} igg|}$$

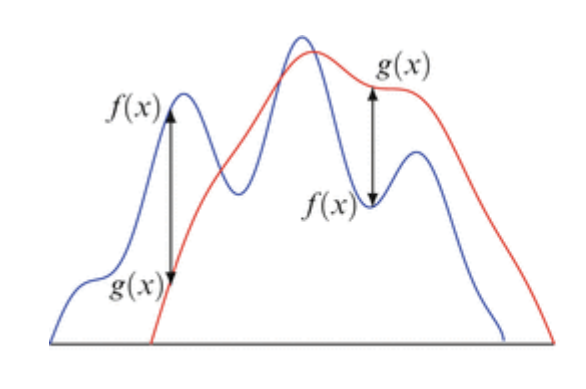
Se basa en la medida de las áreas solapadas bajo las curvas de probabilidad de las dos distribuciones.

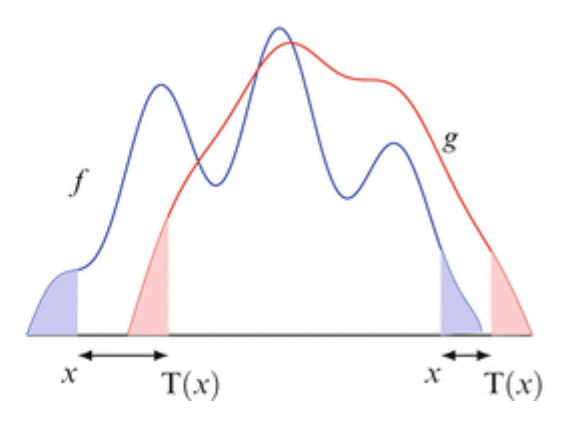


## Wasserstein

Mide el "coste" mínimo necesario para transformar una distribución de probabilidad en otra.

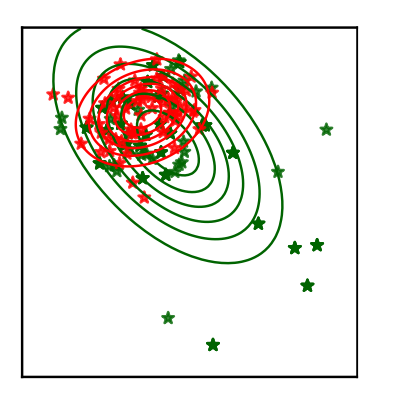
$$D_{W} = \left| \left| m_{1} - m_{2} \right| \right|^{2} + trace \left( C_{1} + C_{2} - 2 \left( C_{2}^{\frac{1}{2}} C_{1} C_{2}^{\frac{1}{2}} \right)^{\frac{1}{2}} \right)$$





#### Discriminación de estado Preictal

$$\mathbf{x}_i^s \in \mathbb{R}^2$$
  $s \in \{\text{inter, pre}\}$ 



#### Biomarcador Preictal ${\mathcal B}$

Asignar una probabilidad relativa a un segmento de pertenecer a un estado Interictal o Preictal

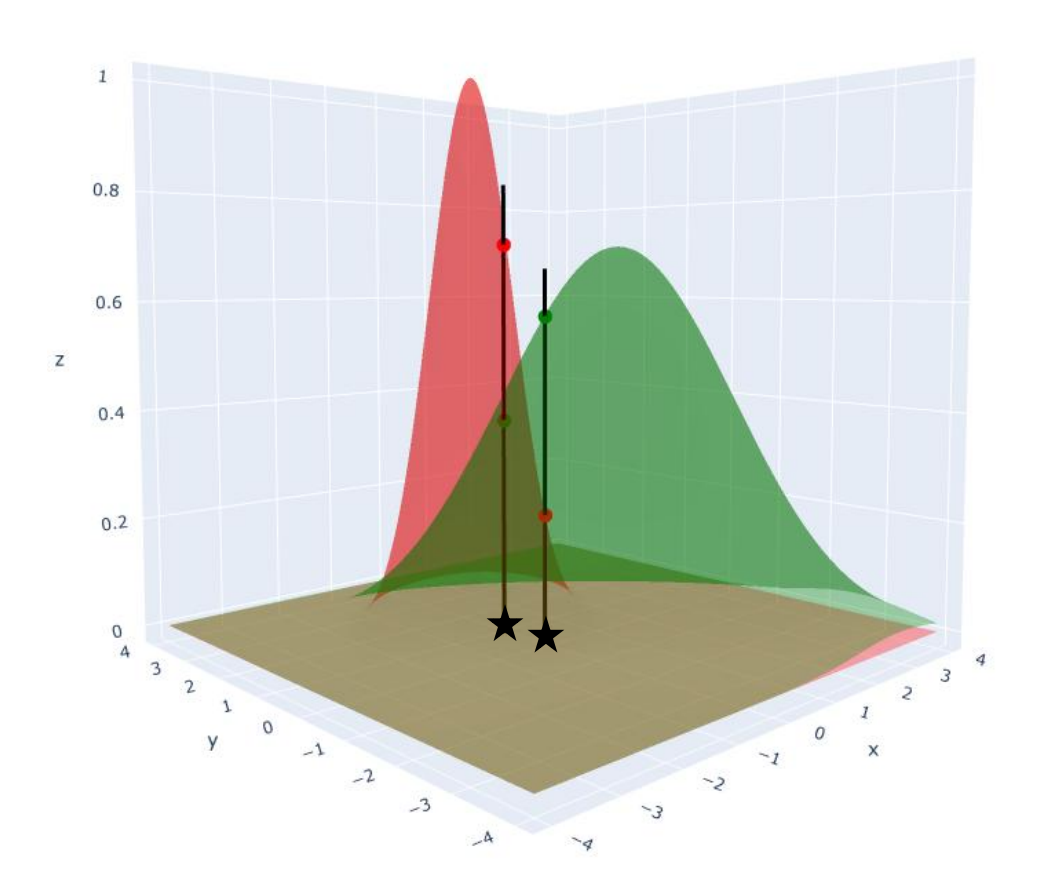
#### Función de Densidad de Probabilidad

$$PDF_s(\mathbf{x}_{i^*}) = rac{1}{(2\pi)|\mathbf{\Sigma}_{i^*}^s|^{1/2}} \mathrm{exp}\left(-rac{1}{2}(\mathbf{x}_{i^*} - oldsymbol{\mu}_{i^*}^s)^T (\mathbf{\Sigma}_{i^*}^s)^{-1} (\mathbf{x}_{i^*} - oldsymbol{\mu}_{i^*}^s)
ight)$$

El biomarcador se define como:

$$\mathcal{B}(\mathbf{x}_{i^*}) = \frac{PDF_{\text{inter}}(\mathbf{x}_{i^*})}{PDF_{\text{pre}}(\mathbf{x}_{i^*})} \qquad s(\mathbf{x}_{i^*}) = \begin{cases} \text{preictal}, & \text{si } \mathcal{B}(\mathbf{x}_{i^*}) \leq 1\\ \text{interictal}, & \text{si } \mathcal{B}(\mathbf{x}_{i^*}) > 1 \end{cases}$$

- ✓ Determina la semejanza de un segmento "embebido" al patrón de distribución de un estado Preictal
- X Discriminación pobre en B cercanos a 1 -> Sensibilidad a la elección de red de referencia



#### Discriminación de estado Preictal

#### Biomarcador Preictal ${\mathcal B}$

Asignar una probabilidad relativa a un segmento de pertenecer a un estado Interictal o Preictal

#### Función de Densidad de Probabilidad

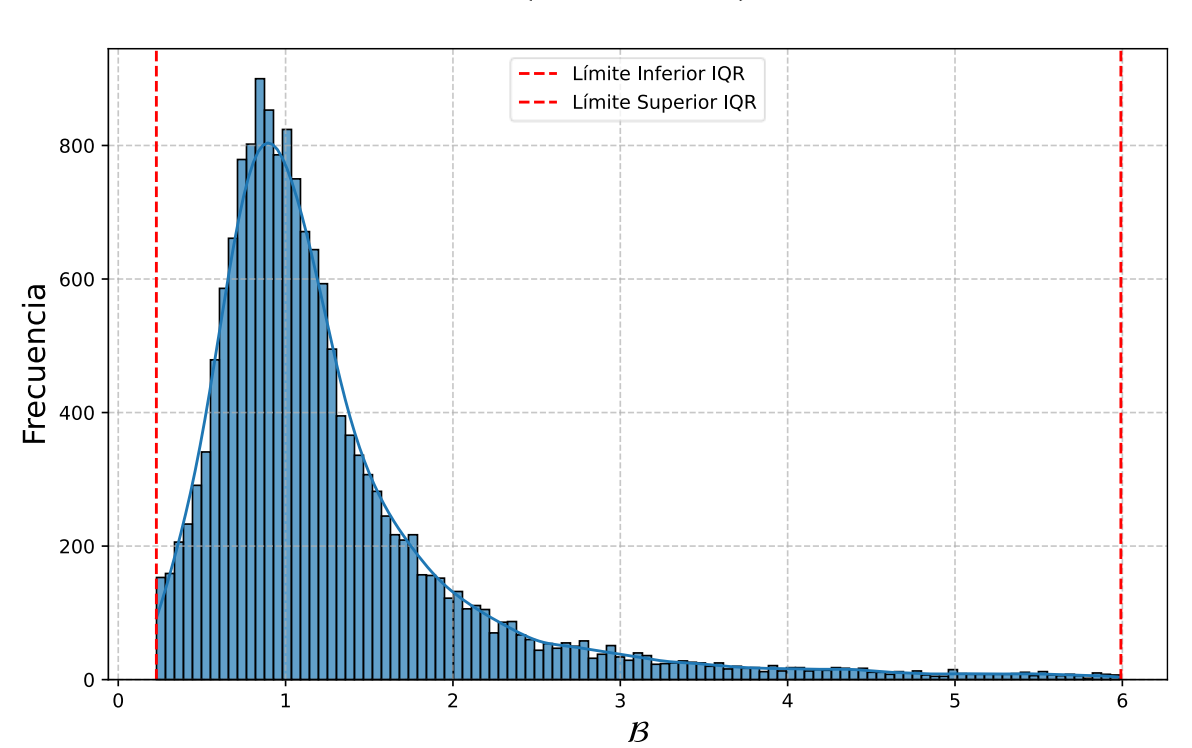
$$PDF_s(\mathbf{x}_{i^*}) = \frac{1}{(2\pi)|\mathbf{\Sigma}_{i^*}^s|^{1/2}} \exp\left(-\frac{1}{2}(\mathbf{x}_{i^*} - \boldsymbol{\mu}_{i^*}^s)^T (\mathbf{\Sigma}_{i^*}^s)^{-1} (\mathbf{x}_{i^*} - \boldsymbol{\mu}_{i^*}^s)\right)$$

El biomarcador se define como:

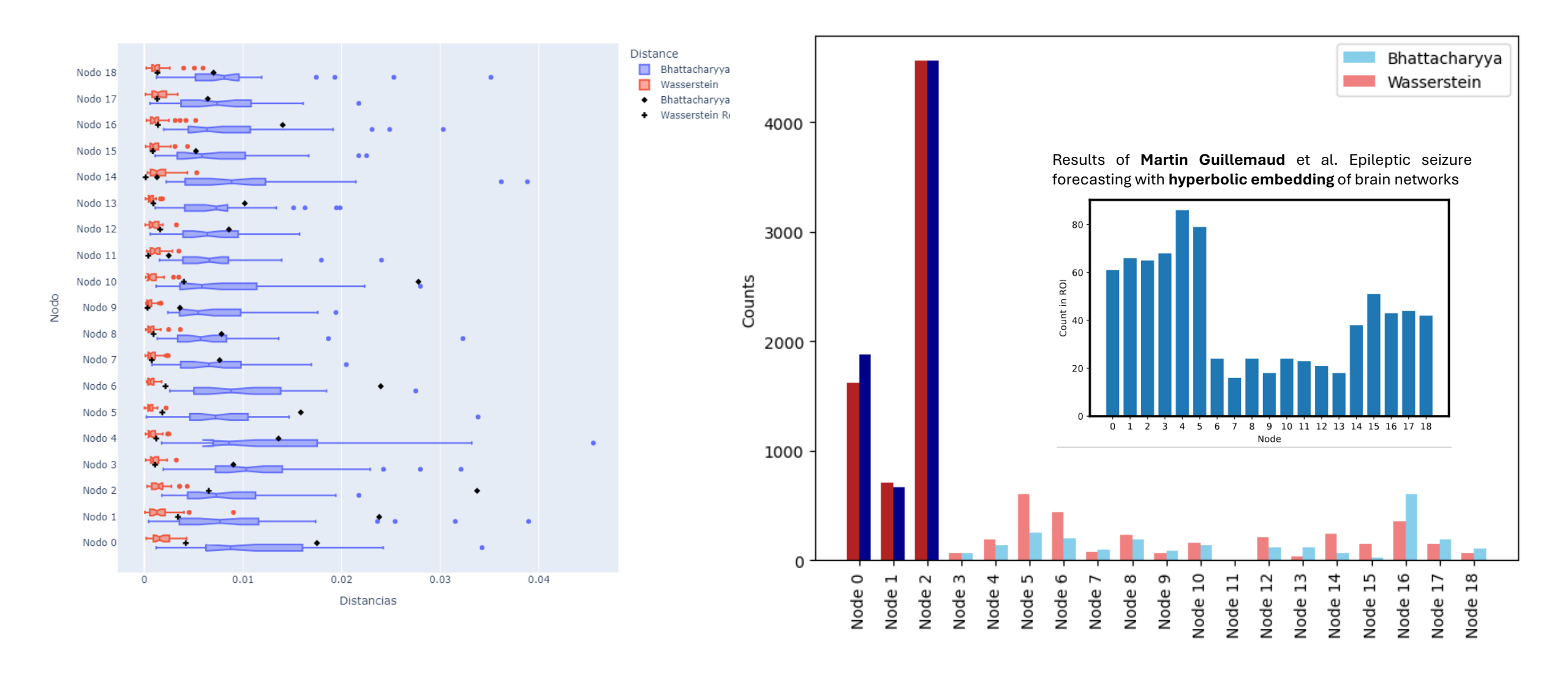
$$\mathcal{B}(\mathbf{x}_{i^*}) = \frac{PDF_{\text{inter}}(\mathbf{x}_{i^*})}{PDF_{\text{pre}}(\mathbf{x}_{i^*})} \qquad s(\mathbf{x}_{i^*}) = \begin{cases} \text{preictal}, & \text{si } \mathcal{B}(\mathbf{x}_{i^*}) \leq 1\\ \text{interictal}, & \text{si } \mathcal{B}(\mathbf{x}_{i^*}) > 1 \end{cases}$$

- ✓ Determina la semejanza de un segmento "embebido" al patrón de distribución de un estado Preictal
- X Discriminación pobre en B cercanos a 1 -> Sensibilidad a la elección de red de referencia

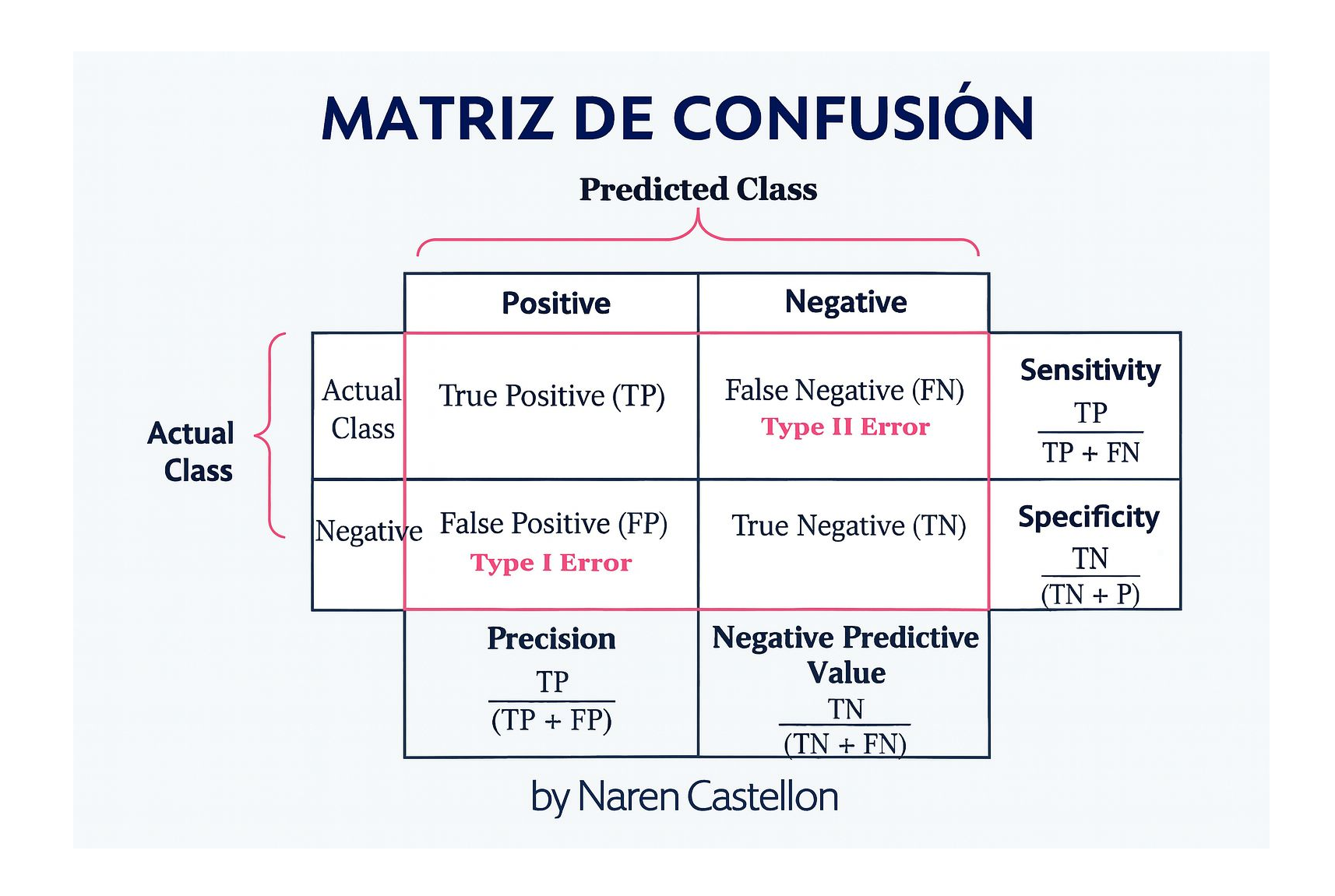




#### Métricas usadas



#### Cuantificación de clasificación binaria



#### Propagacion de errores

```
def calcular media_con_propagacion(mean_list, std_list):
        mean list = np.array(mean list)
        std list = np.array(std list)
        # Media global (promedio de los promedios)
        media global = np.mean(mean list)
        # Desviación entre las medias
        std_dispersion = np.std(mean_list) # ddof=1 para muestra
10
        # Propagación de errores individuales (std / sqrt(N))
11
        error_propagado = np.sqrt(np.sum(std_list**2)) / len(std_list)
12
13
        # Desviación total: combinación de la variación entre valores y la incertidumbre de cada uno
14
        desviacion_total = np.sqrt(std_dispersión**2 + error_propagado**2)
15
        return round(media_global,2), round(desviacion_total,2)
17
✓ 0.0s
```

# Cuantificación de clasificación binaria

Métrica	Fórmula (matriz de confusión)	Relación con Sens./Esp./Prec.	Qué representa
Precisión (Accuracy)	$Acc = \frac{VP + VN}{VP + VN + FP + FN}$	No distingue entre clases; pondera por el tamaño de cada clase.	Proporción de observaciones correctamente clasificadas.
Sensibilidad (Recall, TPR)	$Sens = \frac{VP}{VP + FN}$	Tasa de verdaderos positivos.	Capacidad de detectar días preictales.
Especificidad (TNR)	$Esp = \frac{VN}{VN + FP}$	Tasa de verdaderos negativos.	Capacidad de identificar días interictales.
Precisión (Precision, PPV)	$\operatorname{Prec} = \frac{VP}{VP + FP}$	Depende de FP; complementa a la sensibilidad.	Fiabilidad de los positivos predichos.
F1-score	$F1 = 2 \cdot \frac{\text{Prec-Sens}}{\text{Prec+Sens}}$	Media armónica de precisión y sensibilidad.	Equilibrio entre FP y FN; útil con clases desbalanceadas.
Precisión balanceada (BA)	$BA = \frac{\text{Sens} + \text{Esp}}{2}$	Promedia Sens. y Esp.	Desempeño global compensando desbalance de clases.
Brier score	$BS = \frac{1}{N} \sum_{i=1}^{N} (\hat{p}_i - y_i)^2, y_i \in \{0, 1\}$	No se expresa con Sens./Esp.; evalúa probabilidad.	Calibración de predicciones probabilísticas (penaliza errores con alta confianza).

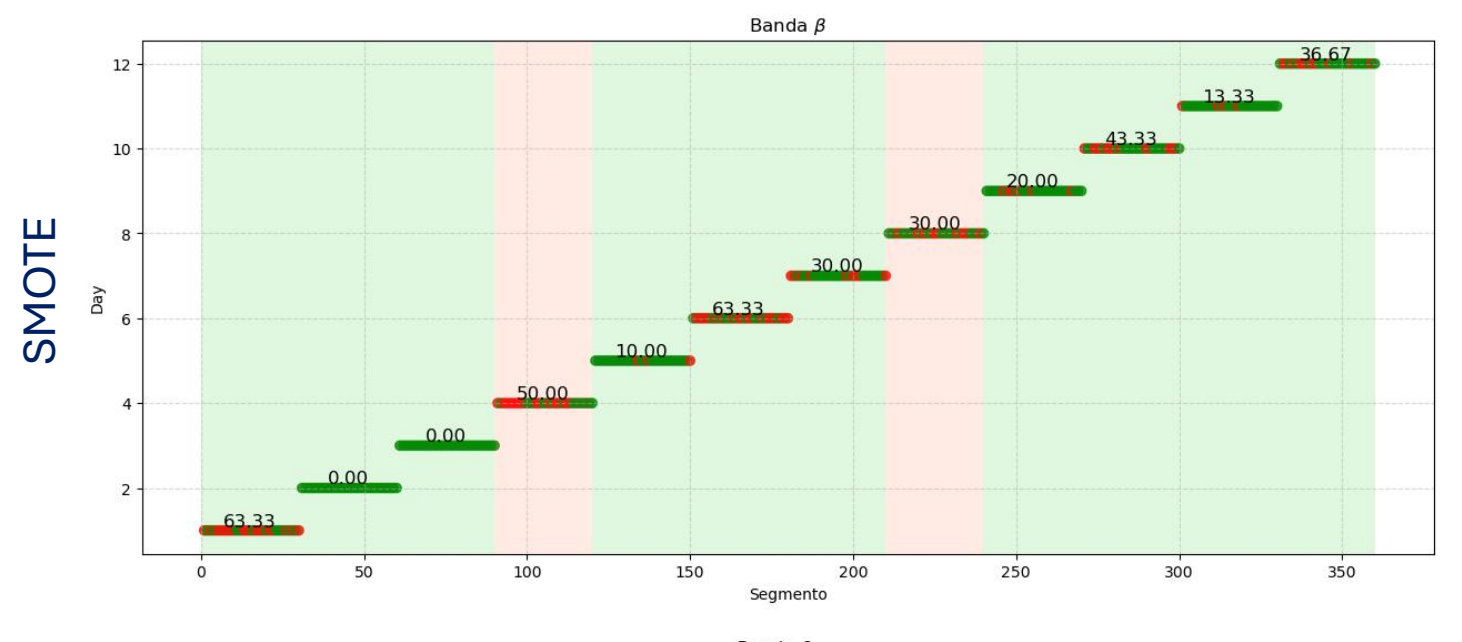
# Costo computacional del embedding hiperbolico

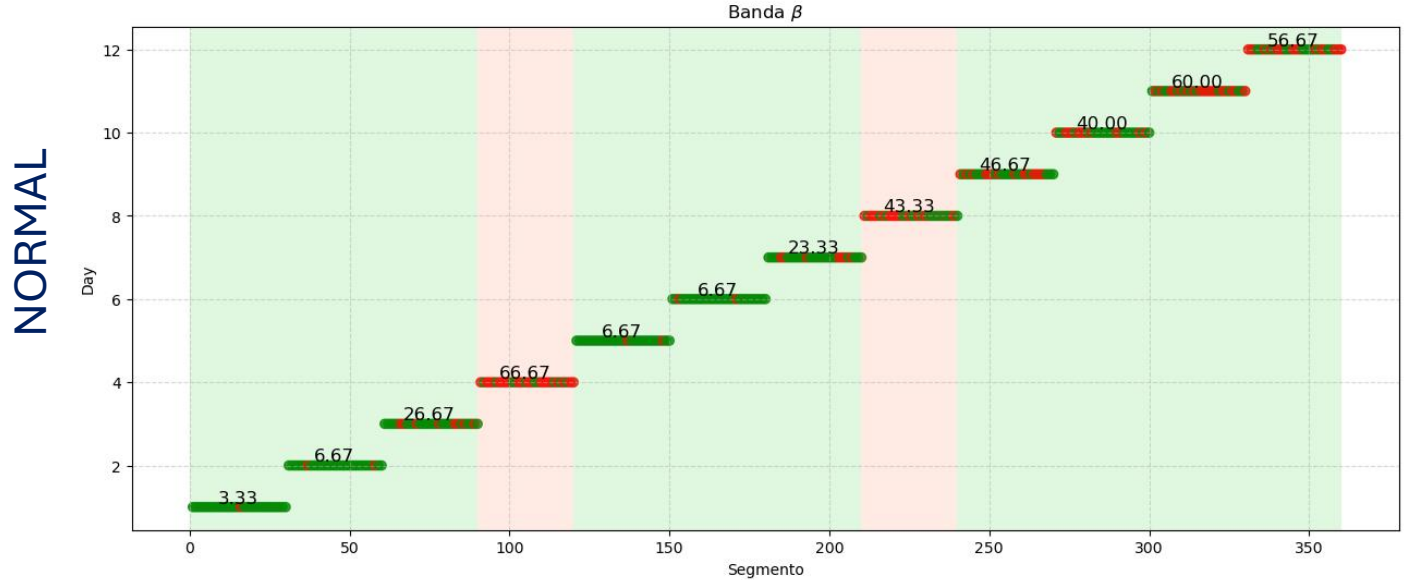
- Un modelo basado en Diffusion Maps puede embebir **decenas o cientos de matrices** en minutos, sin GPU.
- Para implementar embebimientos hiperbólicos de calidad, necesitarías:
  - Tiempo de cómputo significativamente mayor, especialmente si se usa validación cruzada o múltiples sujetos.
  - Recursos computacionales más avanzados, como una GPU dedicada (por ejemplo, RTX 3060 o superior).
  - Entrenamiento cuidadoso, ya que resultados pueden ser sensibles a hiperparámetros y ruido.

# SMOTE (Synthetic Minority Oversampling Technique)



# SMOTE (Synthetic Minority Oversampling Technique)

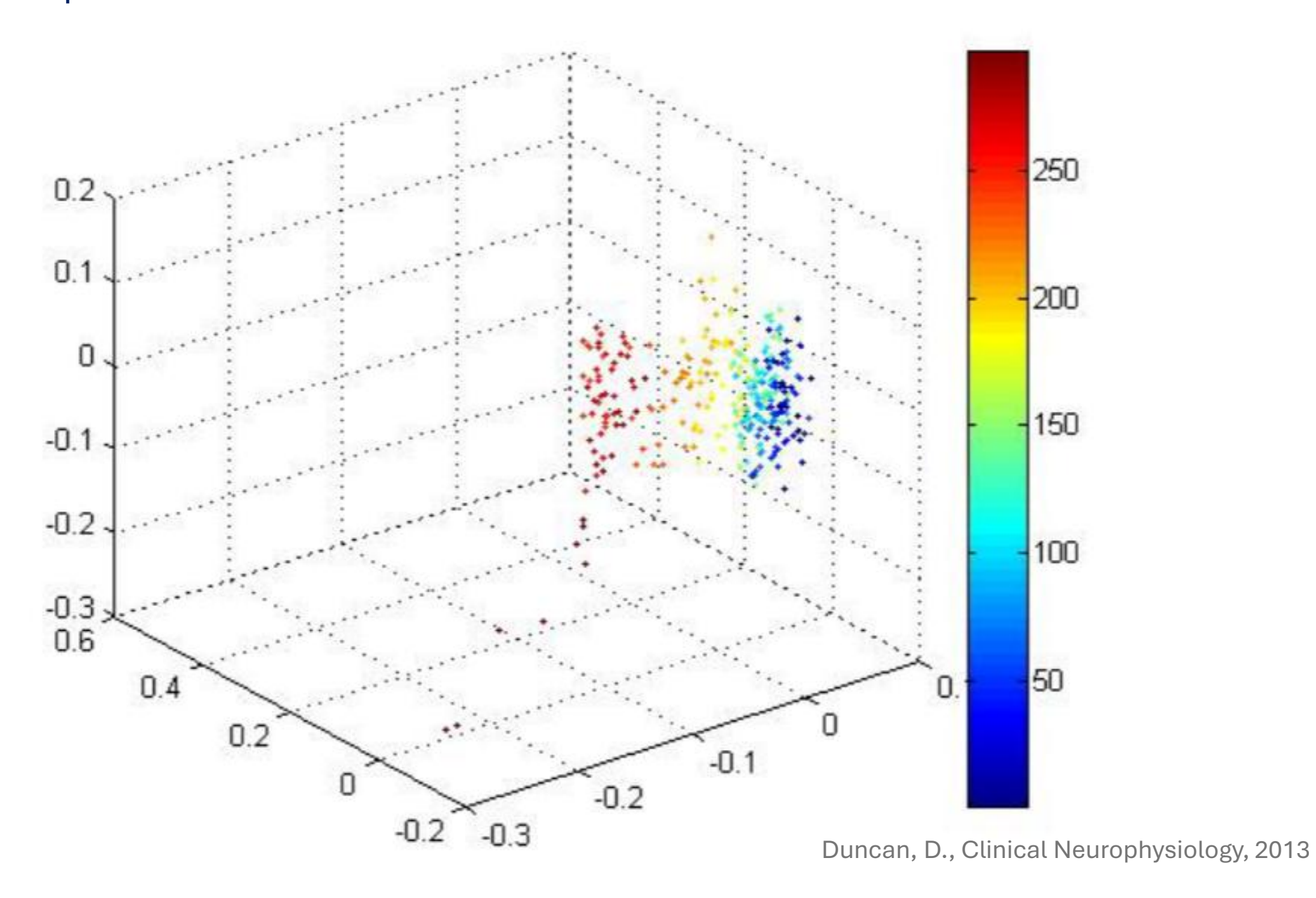




# Posibles Causas:

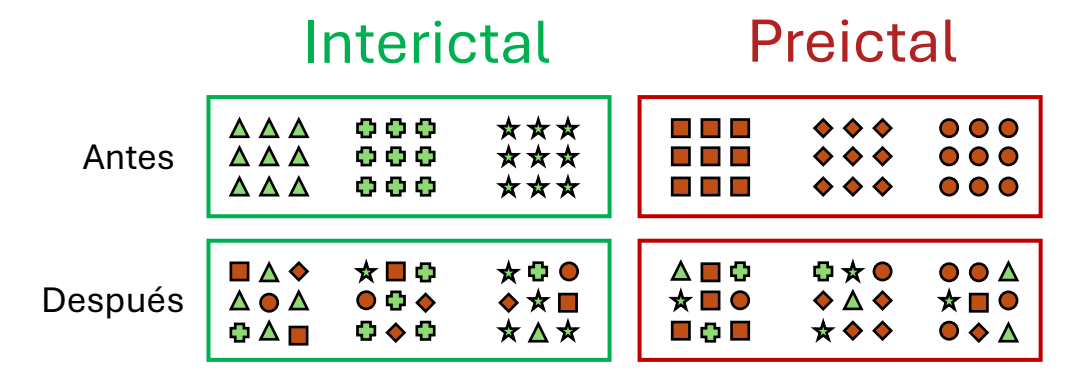
- Interpola linealmente pero difusión maps no es lineal
- Poca variabilidad sintética útil
- Puntos sintéticos terminan en regiones ambiguas

# Diffusion Maps en 3D



# Testeo de hipótesis nula

Construcción de distribuciones nulas empíricas mediante la aleatorización de etiquetas de clase.



de referencia

21 Segmentos 80 Permutaciones para cada una

Maris, E. and Oostenveld, R., Journal of neuroscience methods, 2007

Distribución nula por nodo (Z-score)

$$Z(i) = \frac{D_B(i) - \mu_i}{\sigma_i}$$

# Persistencia de nodos representativos

